

เครื่องกำจัดฝุ่น

DUST COLLECTOR



นายวีระพันธ์ หอมนาน รหัส 51382358
นายชาญวิทย์ ภูมิัง รหัส 51384840

ห้องสมุดคณะวิศวกรรมศาสตร์
วันที่รับ..... 12 ก.ย. 2556
เลขทะเบียน..... 1637 5364
แบบเรียกหนังสือ..... ผู้
มหาวิทยาลัยมหิดล 826 A

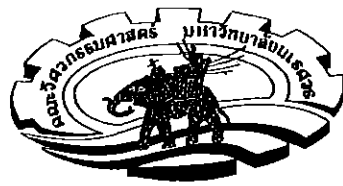
26๖

ปริญญา妮พนธ์นี้เป็นส่วนหนึ่งของการศึกษาหลักสูตรปริญญาวิศวกรรมศาสตรบัณฑิต

สาขาวิชาวิศวกรรมไฟฟ้า ภาควิชาวิศวกรรมไฟฟ้าและคอมพิวเตอร์

คณะวิศวกรรมศาสตร์ มหาวิทยาลัยมหิดล

ปีการศึกษา 2555



ใบรับรองปริญญานิพนธ์

ชื่อหัวข้อโครงการ	เครื่องกำจัดฝุ่น
ผู้ดำเนินโครงการ	นายวีระพันธ์ ห้อมนาน รหัส 51382358
ที่ปรึกษาโครงการ	ผู้ช่วยศาสตราจารย์ ดร. คงฤทธิ์ ชันบดีเฉลิมรุ่ง
สาขาวิชา	วิศวกรรมไฟฟ้า
ภาควิชา	วิศวกรรมไฟฟ้าและคอมพิวเตอร์
ปีการศึกษา	2555

คณะวิศวกรรมศาสตร์ มหาวิทยาลัยนเรศวร อนุมัติให้ปริญญานิพนธ์ฉบับนี้เป็นส่วนหนึ่ง
ของการศึกษาตามหลักสูตรวิศวกรรมศาสตรบัณฑิต สาขาวิชาวิศวกรรมไฟฟ้า

.....
ที่ปรึกษาโครงการ
(ผู้ช่วยศาสตราจารย์ ดร. คงฤทธิ์ ชันบดีเฉลิมรุ่ง)

.....
Sunt Kiravithayakorn กรรมการ
(ดร. สุวิทย์ กิริเวทยา)

.....
กฤษณะ รุ่ง กรรมการ
(คร. ศุภารณนิกา วัฒนา)

ชื่อหัวข้อโครงการ	เครื่องกำจัดฝุ่น
ผู้ดำเนินโครงการ	นายวีระพันธ์ หอมนาน รหัส 51382358
	นายชาญวิทย์ ภูมิสัจ รหัส 51384840
ที่ปรึกษาโครงการ	ผู้ช่วยศาสตราจารย์ ดร.ยงยุทธ ชนบดีเฉลิมรุ่ง
สาขาวิชา	วิศวกรรมไฟฟ้า
ภาควิชา	วิศวกรรมไฟฟ้าและคอมพิวเตอร์
ปีการศึกษา	2555

บทคัดย่อ

โครงการนี้นำเสนองานสร้างเครื่องกำจัดฝุ่นโดยประยุกต์ใช้ความรู้ทางค้านไฟฟ้าสถิตและอิเล็กทรอนิกส์ ซึ่งกำจัดฝุ่นโดยอาศัยแรงที่เกิดจากสนามไฟฟ้า ในโครงการนี้ได้ออกแบบแหล่งจ่ายไฟฟ้ากระแสตรงที่ระดับแรงดันประมาณ 9000 โวลต์ โดยต่อขั้วลงเข้ากับแท่นโลหะแกนกลาง และต่อขั้วลงเข้ากับแผ่นโลหะ ซึ่งจะทำให้เกิดสนามไฟฟ้าที่มากพอจะทำให้ฝุ่นที่ผ่านเข้ามาได้รับอิเล็กตรอนจากแท่นโลหะแกนกลาง และเคลื่อนที่ไปติดแผ่นโลหะ นอกจากนี้ยังสร้างเครื่องกำจัดฝุ่นทั้งหมด 3 เครื่อง ที่มีขนาดและระยะห่างระหว่างแท่นแกนกลางกับแผ่นโลหะที่แตกต่างกันเพื่อศึกษาว่าระยะห่างที่มากขึ้นจะส่งผลต่อประสิทธิภาพของเครื่องกำจัดฝุ่นอย่างไร ซึ่งได้ผลการทดลองว่า เมื่อเพิ่มระยะห่างระหว่างแท่นแกนกลางกับแผ่นโลหะจะส่งผลให้ประสิทธิภาพของเครื่องกำจัดฝุ่นลดลง

Project Title Dust Collector
Name Mr. Weeraphan Homnan ID 51382358
 Mr. Chanwit Phukhang ID 51384840
Project Advisor Assistant Professor Yongyut Chonbodeechalermroong, Ph.D.
Major Electrical Engineering
Department Electrical and Computer Engineering
Academic Year 2012

Abstract

This project presents the way how to build a dust collector by applying knowledge in static electric and electronic aspects, which eliminates the dust by using effects caused by strong electric fields. In this project the direct-current power supply was designed about 9000 volts by attaching the negative electrode with the central core metal piece and attaching the positive electrode with the outer metal plate of a tube. This causes an electric field that is enough and can make the dust coming through receive electrons from the central core metal piece and move to attach with the outer metal plate. Besides, 3 sizes of dust collector tubes with distance differences between the central core metal piece and the outer metal plate are built to study the performance of dust collectors. The results show that increase in the distance between the central core metal piece and the outer metal plate will decrease the performance of the dust collector.

กิตติกรรมประกาศ

โครงงานเครื่องกำจัดผุนน้ำสำเร็จอุล่วงไปได้ด้วยความกรุณาเป็นอย่างยิ่งจากผู้ช่วยศาสตราจารย์ ดร. ยงบุตร ชนบทคีเอนลินรุ่ง ซึ่งเป็นอาจารย์ที่ปรึกษาโครงงานและให้ความกรุณาในการให้คำปรึกษาทุกเรื่องเกี่ยวกับกิจกรรมการทำโครงงานนี้ นอกจากนั้นยังมี ดร. สุวิทย์ กิริสวิทยา และ ดร. สุพรรณนิกา วัฒนา ซึ่งเป็นอาจารย์กรรมการโครงงานและให้คำแนะนำในการปรับปรุงโครงงาน คณะผู้ดำเนินโครงงานขอทราบของพระคุณเป็นอย่างสูงและขอระดึกถึงความกรุณาของท่านไว้ตลอดไป

ขอบอกคุณภาระทุกท่านที่ประสิทธิ์ประสาทวิชาความรู้ในทุกๆ ศาสตร์ที่เป็นประโยชน์ ทั้งที่เกี่ยวข้องในด้านของสายอาชีพและที่เกี่ยวข้องในด้านของการดำเนินชีวิตในสังคม ให้กับคณะผู้ดำเนินโครงงาน

เห็นอีสิ่งอื่นใด คณะผู้ดำเนินโครงงานขอทราบขอบพระคุณบิดา มารดา ผู้สนับสนุนความรักความเมตตา ศติปัญญา รวมทั้งเป็นผู้ให้ทุกสิ่งทุกอย่างทั้งแต่วัยเด็กจนถึงปัจจุบัน ขอเป็นกำลังใจให้ได้รับความสำเร็จอย่างทุกวันนี้ และขอบคุณทุกๆ คนในครอบครัวของคณะผู้ดำเนินโครงงานที่ไม่ได้กล่าวไว้ ณ ที่นี่ด้วย

นายวีระพันธ์ หอมนาน
นายชาญวิทย์ ภูมิพล

สารบัญ

หน้า

ใบรับรองปริญญาบัตร	ก
บทคัดย่อภาษาไทย	ข
บทคัดย่อภาษาอังกฤษ	ค
กิตติกรรมประกาศ	ง
สารบัญ	จ
สารบัญตาราง	ฉ
สารบัญรูป	ธ
บทที่ 1 บทนำ	1
1.1 ที่มาและความสำคัญของโครงการ	1
1.2 วัตถุประสงค์	1
1.3 ขอบเขตของโครงการ	2
1.4 วิธีดำเนินการ	2
1.5 แผนการดำเนินงานโครงการ	2
1.6 ผลที่คาดว่าจะได้รับ	3
1.7 งบประมาณของโครงการ	3
บทที่ 2 หลักการและทฤษฎีที่เกี่ยวข้อง	4
2.1 ไฟฟ้าสถิต(Static Electricity)	4
2.1.1 การเกิดไฟฟ้าสถิต	4
2.1.2 ตัวนำ(Conductor)	4
2.1.3 อนุวัติ(Insulator)	5
2.1.4 การเหนี่ยวนำหรือการเหนี่ยวนำไฟฟ้าสถิต(Induction)	5
2.1.5 ความหนาแน่นประจุ(Surface Density)	6
2.1.6 กิริยาที่ปลายแหลม(Point Action)	6
2.2 สนามไฟฟ้า(Electric Field)	6
2.2.1 การหาสนามไฟฟ้าจากประจุไฟฟ้าด้านกำเนิดสนาม Q	7
2.2.2 การหาสนามไฟฟ้าจากแรงที่กระทำต่อประจุทดสอบ q	8

สารบัญ (ต่อ)

หน้า

2.2.3 สนามไฟฟ้าระหว่างแผ่นตัวนำคู่ขนาน	9
2.2.4 สนามไฟฟ้าของตัวนำทรงกลม	10
2.3 โควิด-19(Corona)	12
 บทที่ 3 การออกแบบและการสร้าง.....	15
3.1 ชนิดของเครื่องกำจัดฝุ่นไฟฟ้าสถิต	15
3.2 การออกแบบและการสร้างแหล่งจ่ายไฟฟ้ากระแสตรงแรงดันสูง	17
3.2.1 หลักการทำงานของ Astable Multivibrator.....	17
3.2.2 ออกแบบค่าตัวค้านทานและตัวเก็บประจุ	19
3.2.3 วงจรสร้างไฟฟ้ากระแสตรงแรงดันสูง.....	22
3.3 โครงสร้างในการดักจับฝุ่น	24
3.3.1 ปล่องทางเข้าของฝุ่นและที่เก็บสะสมฝุ่น	25
3.3.2 แผ่นดักจับฝุ่น.....	25
3.3.3 ปล่องทางออกของฝุ่นและแกนกลาง	27
 บทที่ 4 การทดลองและผลการทดลอง.....	29
4.1 ทดลองวงจรสร้างพัลส์และการทำงานของอุปกรณ์สวิตชิ่ง	29
4.1.1 ผลการทดลองวงจรสร้างพัลส์และการทำงานของอุปกรณ์สวิตชิ่ง	29
4.2 ทดลองแรงดันแรงดันที่ออกจากหม้อแปลงฟลายแบค	31
4.2.1 สร้างวงจรแบ่งแรงดันไฟฟ้า	31
4.2.2 ผลการทดลองวัดแรงดันไฟฟ้าที่ออกจากหม้อแปลงฟลายแบค	33
4.3 ทดลองวัสดุกำลังไฟฟ้าที่สูญเสียของเครื่องกำจัดฝุ่น	34
4.3.1 ผลการทดลองวัสดุกำลังไฟฟ้าที่สูญเสียของเครื่องกำจัดฝุ่น	35
4.4 ทดลองประสิทธิภาพของเครื่องกำจัดฝุ่น	36
4.4.1 เครื่องมือและอุปกรณ์ที่ใช้ในการทดลอง.....	37
4.4.2 วิธีทำการทดลองประสิทธิภาพเครื่องกำจัดฝุ่น.....	37
4.4.3 ผลการทดลองประสิทธิภาพเครื่องกำจัดฝุ่น.....	38

สารบัญ (ต่อ)

	หน้า
บทที่ 5 สรุปผลการทดลอง	42
5.1 สรุปผลการคำนวณงานโครงงาน	42
5.2 ปัญหาและแนวทางแก้ไข	42
5.3 แนวทางในการพัฒนาโครงงาน	43
เอกสารอ้างอิง	44
ภาคผนวก ก คู่มือการใช้งานเครื่องกำจัดฝุ่น	45
ภาคผนวก ข เอกสารข้อมูลคุณสมบัติอุปกรณ์	54
ประวัติผู้ดำเนินโครงงาน	77

สารบัญตาราง

ตารางที่	หน้า
3.1 ขนาดของสังกะสีที่ใช้ทำแผ่นดักจับผู้ตุ๋น	26
3.2 ขนาดแผ่นอะคริลิก	28
4.1 ผลการทดลองของรสร้างพัลส์	29
4.2 ผลการทดลองวัดแรงดันไฟฟ้าที่ออกจากหม้อแปลงฟลายแบค	33
4.3 ผลการทดลองวัดกำลังไฟฟ้าที่สูญเสียของเครื่องกำจัดผู้ตุ๋น	35
4.4 เครื่องมือและอุปกรณ์ที่ใช้ในการทดลอง	37
4.5 ผลการซึ่งกระดาษกรองก่อนทำการทดลอง	38
4.6 ผลการซึ่งกระดาษกรองหลังทำการทดลอง	38
4.7 น้ำหนักที่เปลี่ยนแปลงของกระดาษกรอง	39
4.8 ประสิทธิภาพของเครื่องกำจัดผู้ตุ๋น	40

สารบัญ

รูปที่	หน้า
2.1 การทำให้ตัวนำมีประจุใหม่โดยการเหนี่ยวนำ	5
2.2 ความหนาแน่นประจุที่บวิเวอต่างๆ.....	6
2.3 ความหมายของตัวแปรของสมการหาสนามไฟฟ้า	7
2.4 ทิศของสนามไฟฟ้าที่เกิดจากจุดประจุด้านกำเนิดสนาม Q	8
2.5 ทิศของสนามไฟฟ้าจากแรงที่กระทำต่อประจุทดสอบ q	8
2.6 เปรียบเทียบทิศของสนามไฟฟ้า	9
2.7 สนามไฟฟาระหว่างแผ่นตัวนำคู่บนนาโนห้อง 2 แผ่น วางขนานกัน	9
2.8 การหาขนาดของสนามไฟฟ้าสม่ำเสมอ	10
2.9 ประจุของตัวนำทรงกลม.....	11
2.10 สนามไฟฟ้าภายในทรงกลมเป็นสูญญากาศ	11
2.11 สนามไฟฟ้าที่ผิวทรงกลมมีค่ามากที่สุด	11
2.12 กราฟสนามไฟฟ้าของตัวนำทรงกลม.....	12
2.13 สนามไฟฟ้าตั้งฉากกับผิวทรงกลมเสมอ	12
2.14 สนามไฟฟ้าสม่ำเสมอ	13
2.15 สนามไฟฟ้าไม่สม่ำเสมอ	13
3.1 เครื่องกำจัดฝุ่นไฟฟ้าสถิตชนิดแบบท่อทรงกระบอก.....	15
3.2 เครื่องกำจัดฝุ่นไฟฟ้าสถิตชนิดแบบแผ่นบาง	16
3.3 หลักการทำงานของเครื่องกำจัดฝุ่น	16
3.4 Astable Multivibrator.....	17
3.5 วงจรสร้างพัลส์ที่ได้ออกแบบ	21
3.6 วงจรสร้างไฟฟ้ากระแสตรงแรงดันสูง	22
3.7 วงจรจ่ายไฟฟ้าให้กับหม้อแปลงฟลายแบค	23
3.8 ต้นแบบโครงสร้างเครื่องกำจัดฝุ่น	24
3.9 ปล่องทางเข้าของฝุ่นและที่เก็บสะสมฝุ่น	25
3.10 แผ่นสังกะสีที่ใช้ทำเป็นแผ่นดักจับฝุ่น	26
3.11 การม้วนสังกะสีติดข้างในท่อ	26
3.12 การเจาะรูท่อ PVC และสังกะสี.....	27

สารบัญรูป(ต่อ)

รูปที่	หน้า
3.13 ต้านในของส่วนที่เป็นแผ่นดักจับผุน	27
3.14 ลักษณะของแผ่นอะคริลิก.....	28
3.15 ปล่องทางออกและแกนกลาง.....	28
3.16 การเชื่อมต่อไฟฟ้าเข้ากับแกนกลาง.....	28
4.1 ตัวอย่าง output ของวงจรสร้างฟลัตเตอร์	30
4.2 แรงดันที่ขาเกตของมอสเฟต	30
4.3 แรงดันที่ขาเดรนของมอสเฟต	30
4.4 แรงดันปฐมนิยมของหน้อแปลงฟลายแบค	31
4.5 ความสัมพันธ์ระหว่าง V_{dc} และ V'	32
4.6 วงจรแบ่งแรงดันที่ได้ออกแบบ	33
4.7 แรงดันที่ตอกคร่อมตัวต้านทาน 1 กิโลโวท์	34
4.8 ตำแหน่งการวัดแรงดันและกระแส	34
4.9 โครงสร้างในการทดลอง	36
4.10 ผลการทดลองเครื่องกำจัคผุนขนาดเล็ก(ท่อ 2นิ้ว)	39
4.11 ผลการทดลองเครื่องกำจัคผุนขนาดกลาง(ท่อ 3นิ้ว)	39
4.12 ผลการทดลองเครื่องกำจัคผุนขนาดใหญ่(ท่อ 4นิ้ว)	40
4.13 กราฟแสดงประสิทธิภาพเครื่องกำจัคผุน	41

บทที่ 1

บทนำ

1.1 ที่มาและความสำคัญของโครงการ

ผู้นับและกวันก่อให้เกิดผลกระทบต่อสุขภาพอนามัยของคน สัตว์ พืช เกิดความเสียหายต่ออาคารบ้านเรือน ทำให้เกิดความเดือดร้อนร้าวคัญต่อประชาชน บดบังทัศนวิสัย ทำให้เกิดอุปสรรคในการคมนาคมขนส่ง ผู้นับและกวันมีผลต่อสุขภาพอนามัยของเราซึ่งนอกจากผู้นับและกวันจะทำให้เกิดอาการระคายเคืองตาแล้ว ยังทำอันตรายต่อระบบหายใจ เมื่อเราสูดเอาอากาศที่มีผู้นับละอองเข้าไป ผู้นับที่มีขนาดเล็กนั้นสามารถเล็ดลอดเข้าไปในระบบหายใจ ทำให้ระคายเคือง แสบจมูก ไอ จาม มีเสมหะ หรือมีการสะสมของผู้นับในถุงลมปอด ทำให้การทำงานของปอดเสื่อมลง โดยทั่วไปแล้ว ผู้นับ กวันจะมีแหล่งที่มาแบ่งเป็น 2 ประเภทใหญ่ ๆ คือ ผู้นับหรือกวันที่เกิดจากธรรมชาติและเกิดจากกิจกรรมของมนุษย์

ปัจจุบันผู้นับและกวันส่วนใหญ่นั้นเกิดจากกิจกรรมของมนุษย์ เช่น การเพิ่มขึ้นของโรงงานอุตสาหกรรมที่ส่งผลต่อการเกิดผู้นับและกวันที่เพิ่มมากขึ้น รวมถึงการปล่อยผู้นับและกวัน ที่เพาไหม ออกมานาจากบ้านเรือน ที่เกิดจากกิจกรรมประจำวันของเรา เช่น กวันจากการทำอาหาร เป็นต้น ซึ่งผู้นับ และกวันเหล่านี้ก่อให้เกิดปัญหาตามนานา magna เราจึงออกแบบเครื่องกำจัดผู้นับ กวัน มาเพื่อกำจัดผู้นับ และกวัน ที่ปล่อยออกมาน้ำทุ่งกระจายในอากาศ

จากปัญหาผู้นับและกวันเหล่านี้ เราจึงได้ศึกษาและประยุกต์ใช้หลักการของการเคลื่อนที่ ประจุไฟฟ้าในสถานไฟฟ้า เพื่อมาออกแบบเครื่องกำจัดผู้นับที่มีความสามารถในการกำจัดผู้นับและกวันที่มีอนุภาคเล็กๆ อย่างมีประสิทธิภาพ

1.2 วัตถุประสงค์

ออกแบบและสร้างเครื่องกำจัดผู้นับเพื่อกำจัดผู้นับและกวัน โดยจะออกแบบและสร้างทั้งหมด 3 ขนาด ที่แตกต่างกัน

1.3 ขอบเขตของโครงการ

ออกแนวบางจริงอิเล็กทรอนิกส์เพื่อสร้างแหล่งจ่ายไฟฟ้าแรงดันสูง สร้างวงจรวัดไฟฟ้าแรงดันสูง สร้างเครื่องกำจัดฝุ่นและศึกษาว่าระเบียบห่างระหว่างแท่งโลหะแคนกลวงกับแผ่นโลหะดักจับฝุ่นมีผลต่อประสิทธิภาพอย่างไร

1.4 วิธีดำเนินการ

- 1.4.1 ศึกษาถุณภีและหลักการเกิดโกรโน่ดิสชาร์จ
 - 1.4.2 ศึกษาการออกแบบของอิเล็กทรอนิกส์
 - 1.4.3 ออกแบบของสร้างแหล่งจ่ายไฟฟ้าแรงดันสูง
 - 1.4.4 ออกแบบและการสร้างเครื่องกำจัดฝุ่น
 - 1.4.5 ทดลองเครื่องกำจัดฝุ่นที่ได้ออกแบบไว้
 - 1.4.6 ปรับปรุงแก้ไข
 - 1.4.7 จัดทำรูปเล่ารายงาน

1.5 แผนการดำเนินงานโครงการ

5. ทดสอบเครื่องกำจัดฝุ่นที่ได้ ออกแบบไว้											
6. ปรับปรุงและแก้ไข											
7. จัดทำรูปเล่มรายงาน											

1.6 ผลที่คาดว่าจะได้รับ

เครื่องกำจัดฝุ่นที่ออกแบบสามารถกำจัดฝุ่นได้ และทราบว่าระยะห่างที่มากขึ้นระหว่างแท่งโลหะແກນกลางกับแผ่นโลหะคักจับฝุ่นมีผลต่อประสิทธิภาพของเครื่องกำจัดฝุ่นอย่างไร

1.7 งบประมาณของโครงการ

1.7.1 ค่าวัสดุอุปกรณ์	3,000 บาท
1.7.2 ค่าเอกสาร	1,000 บาท
1.7.3 อื่น ๆ	1,000 บาท
รวมเป็นเงินทั้งสิ้น	<u>5,000</u> บาท
หมายเหตุ ถ้าเปลี่ยนรายการ	

บทที่ 2

หลักการและทฤษฎีเกี่ยวข้อง

การกำจัดฝุ่นและควันของเครื่องกำจัดฝุ่นนี้จำเป็นที่จะต้องมีความรู้พื้นฐานหลายส่วนมาประกอบกันเพื่อให้การประมวลผลมีประสิทธิภาพและมีความถูกต้องมากที่สุด จึงต้องมีความรู้พื้นฐานเกี่ยวกับหัวข้อต่างๆ ดังนี้

2.1 ไฟฟ้าสถิต (Static electricity)

ไฟฟ้าสถิต (Static electricity) เป็นปรากฏการณ์ที่ปริมาณประจำไฟฟ้าขั่วบวกและขั่วลบบนผิวสัมผัสนามีไม่เท่ากัน ปกติจะแสดงในรูปการดึงดูด การผลักกัน และเกิดประกายไฟ

2.1.1 การเกิดไฟฟ้าสถิต

กฎข้อที่ 1 ของไฟฟ้าสถิต (First Law of Electrostatics) ประจำไฟฟ้าชนิดเดียวกันผลักกัน ส่วนประจำไฟฟ้าต่างชนิดกันดูดกัน อนุภาคที่มีประจำไฟฟ้าจะดูดอนุภาคที่ไม่มีประจำไฟฟ้าโดยการเห็นช่วงนำ

การที่ปริมาณประจำไฟฟ้าขั่วบวกและขั่วลบบนผิวสัมผัสนามีไม่เท่ากันทำให้เกิดแรงดึงดูดเมื่อวัตถุทั้ง 2 ชิ้นมีประจำต่างชนิดกัน หรือเกิดแรงผลักกันเมื่อวัสดุทั้ง 2 ชิ้นมีประจำชนิดเดียวกัน เราสามารถสร้างไฟฟ้าสถิตโดยการนำผิวสัมผัสของวัสดุ 2 ชิ้นมาขัดสีกัน พลังงานที่เกิดจากการขัดสีกันทำให้ประจำไฟฟ้านบนผิวสัมผัสดูจะเกิดการแลกเปลี่ยนกัน โดยจะเกิดกับวัสดุประเภทที่ไม่นำไฟฟ้า หรือที่เรียกว่า อนุวน ตัว เช่น ยาง พลาสติก และแก้ว สำหรับวัสดุประเภทที่นำไฟฟ้านั้นโอกาสเกิดปรากฏการณ์ประจำไฟฟ้านบนผิวสัมผัสนามีไม่เท่ากันนั้นหากแต่ก็สามารถเกิดขึ้นได้ เช่น กรณีที่ผิวโลหะถูกกระแทกด้วยของแข็งหรือของเหลวที่ไม่เป็นตัวนำ ประจำที่เกิดการเคลื่อนย้ายระหว่างการสัมผัสจะถูกเก็บบนผิวของวัสดุทั้ง 2 ชิ้น

2.1.2 ตัวนำ (Conductor)

วัตถุที่มีอิเล็กตรอนจำนวนมาก ซึ่งเคลื่อนที่อย่างอิสระ ดังนั้นตัวนำจึงให้กระแสไฟฟ้าไหลระหว่างตัวนำที่ดี เช่น ทองแดง อลูมิเนียม และทองคำ

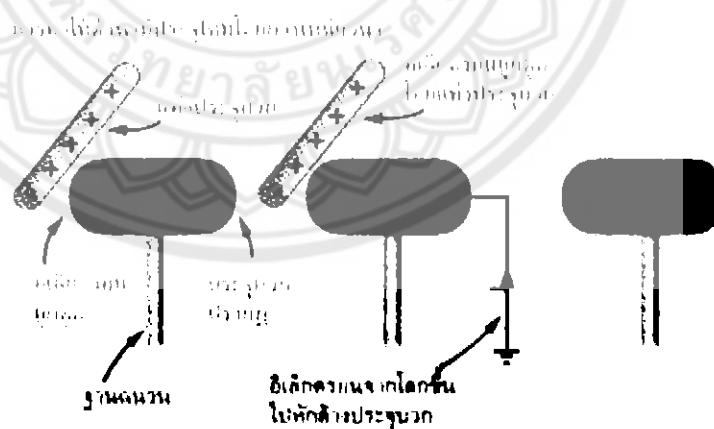
2.1.3 ฉนวน (Insulator)

วัตถุที่มีอิเล็กตรอนอิสระในการเคลื่อนที่น้อยมากหรือไม่มีเลย(เป็นตัวนำที่ไม่ดี) ฉนวน บางชนิดมีประจุไฟฟ้าเกิดขึ้นเมื่อยกๆลงเนื่องจากอิเล็กตรอนในอะตอมที่ผิวของวัตถุเคลื่อนที่จากวัตถุ หนึ่งไปยังอีกวัตถุหนึ่งแต่ประจุไฟฟ้าจะบังคับอยู่ที่ผิววัตถุนั้น

2.1.4 การเหนี่ยวนำหรือการเหนี่ยวนำไฟฟ้าสถิต (Induction)

เป็นวิธีการทำให้ตัวนำมีประจุไฟฟ้าโดยใช้ประจุไฟฟ้าจากวัตถุอื่นซึ่งไม่ติดกัน ปกติแล้ว ประจุไฟฟ้าจะถูกเหนี่ยวนำตามส่วนต่างๆของวัตถุเนื่องจากการดึงดูดและผลักกัน ถ้าเกลี้ยงประจุชนิดหนึ่งออกไป วัตถุนั้นจะมีประจุไฟฟ้าเช่นเดียวกับร่องข้าง Kong อุ่งข่าย

จากรูปที่ 2.1 การทำให้ตัวนำมีประจุใหม่โดยการเหนี่ยวนำนั้น เมื่อนำแท่งประจุบวกเข้าใกล้ตัวนำ จะเกิดการดูดกันระหว่างประจุบวกของแท่งประจุบวกกับประจุลบหรืออิเล็กตรอนของตัวนำ และเกิดการผลักกันระหว่างประจุบวกของแท่งประจุบวกกับประจุบวกของตัวนำ ซึ่งการดูดและผลักกันระหว่างประจุนี้ทำให้เกิดการแบ่งแยกกันระหว่างประจุลบและประจุบวก เมื่อนำค้าน้ำที่มีประจุบวกอยู่ของตัวนำต่อลงกับพื้นโลก อิเล็กตรอนจากพื้นโลกจะไปหักล้างประจุบวก จึงทำให้ตัวนำนั้นมีแต่ประจุลบ

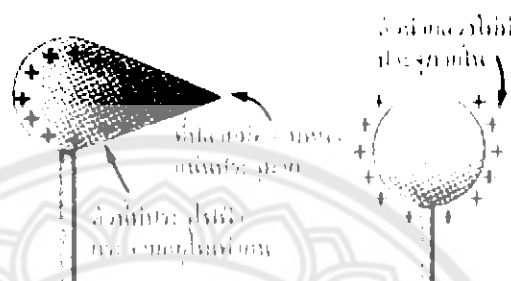


รูปที่ 2.1 การทำให้ตัวนำมีประจุใหม่โดยการเหนี่ยวนำ

(ที่มา : http://www.rmutphysics.com/charud/scibook/electric1/Static_electricity.htm)

2.1.5 ความหนาแน่นประจุ (Surface density)

ความหนาแน่นประจุ (Surface density) คือ ประจุไฟฟ้าต่อหน่วยผิวพื้นที่บนผิววัสดุ ความหนาแน่นประจุจะมากถ้าผิวได้มาจากการสัมผัสระบุต่างๆ ที่ส่วนใหญ่ของผิวจะมีประจุไฟฟ้าหนาแน่นมาก และวัสดุทรงกลมมีความหนาแน่นประจุคงที่ ดังที่แสดงในรูปที่ 2.2



รูปที่ 2.2 ความหนาแน่นประจุที่บริเวณผิวต่างๆ

(ที่มา : http://www.rmutphysics.com/charud/scibook/electric1/Static_electricity.htm)

2.1.6 กิริยาที่ปัลยาแผลม (Point action)

เป็นปรากฏการณ์ที่เกิดขึ้นรอบๆ ปัลยาแผลมที่ผิวของวัสดุซึ่งมีประจุไฟฟ้านอก ไอออน化ในอากาศจะถูกผลักโดยประจุไฟฟ้านอกที่ปัลยาแผลมให้เคลื่อนที่ไปชนโน้มเล็กๆ ของอากาศ และทำให้มีอิเล็กตรอนกระเด็นออกໄไป เป็นการเพิ่มประจุบวกขึ้นอีก และถูกผลักออกໄไป มีผลให้เกิดลมไฟฟ้าของโน้มเล็กๆ ของอากาศ

2.2 สนามไฟฟ้า (electric field)

สนามไฟฟ้า หมายถึง บริเวณใดๆ ก็ตามที่มีประจุไฟฟ้าอยู่ สามารถส่งอำนาจไปถึง หรือบริเวณที่เมื่อนำประจุไฟฟ้าทดสอบเข้าไปว่างแล้วจะเกิดแรงกระทำบนประจุไฟฟ้าที่ทดสอบนั้น ตามจุดค่างๆ ในบริเวณสนามไฟฟ้าย่อนมีความเข้มของสนามไฟฟ้าต่างกัน จุดที่อยู่ใกล้ประจุไฟฟ้าต้นกำเนิดสนามจะมีความเข้มของสนามไฟฟ้าสูงกว่าจุดที่อยู่ห่างไกลออกໄไป สนามไฟฟ้ามีหน่วยคือ นิวตันต่อ库ลโอมบ์ หรือโวลต์ต่อเมตร

2.2.1 การหาสนามไฟฟ้าจากประจุไฟฟ้าต้นกำเนิดสนาม Q

ค่าสนามไฟฟ้า หมายถึง แรงที่เกิดขึ้นบนประจุ +1 คูลโอมบ์ ที่เอามาไปวางในสนามไฟฟ้านั้น สนามไฟฟ้าจากประจุ Q ใด ๆ มีค่าดังนี้

$$F = \frac{KQq}{r^2}$$

แทนค่า $q = 1 \text{ C}$ ได้

$$F = \frac{KQ \times 1}{r^2}$$

แรงที่ทำต่อประจุ 1 C นิ่ง คือ $F = KQq / r^2$

แรงที่ทำต่อประจุ +1 C = สนามไฟฟ้า E

ดังนั้น จึงสามารถหาสนามไฟฟ้าได้จากการ

$$E = \frac{KQ}{r^2} \quad (2.1)$$

ค่า Q ไม่ต้องแทนเครื่องหมาย บวกหรือลบ

$$K \approx 9.1 \times 10^9 \text{ N} \cdot \text{m}^2 / \text{C}$$



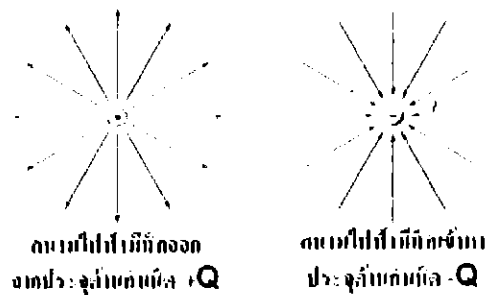
รูปที่ 2.3 ความหมายของค่าว่าเบรุของสมการการหาสนามไฟฟ้า

(ที่มา : <http://physicskruadd.wordpress.com/2012/03/12/สนามไฟฟ้า-electric-field.html>)

E = สนามไฟฟ้าที่เกิดจากประจุ Q หน่วยนิวตันต่อคูลโอมบ์ (N/C)

Q = ประจุแหล่งกำเนิดที่ทำให้เกิดสนามไฟฟ้า หน่วยคูลโอมบ์ (C)

R = ระยะจากแหล่งกำเนิดถึงจุดที่ต้องการรู้ค่าสนามไฟฟ้า หน่วย เมตร (m)



รูปที่ 2.4 ทิศของสนามไฟฟ้าที่เกิดจากจุดประจุต้นกำเนิดสนาม Q

(ที่มา : <http://physicskruadd.wordpress.com/2012/03/12/สนามไฟฟ้า-electric-field.html>)

2.2.2 การหาสนามไฟฟ้าจากแรงที่กระทำต่อประจุทดสอบ q

ในการหาสนามไฟฟ้า ให้นำประจุทดสอบ q ไปวางณ จุดที่เราต้องการหาสนามไฟฟ้า เมื่อมีแรง F ที่กระทำบนประจุทดสอบ หาค่าสนามไฟฟ้าจากอัตราส่วนแรงกระทำต่อประจุ ซึ่งสนามไฟฟ้ามีค่าเท่ากับแรงที่กระทำต่อประจุ 1 คูลอนบ หารได้จากสมการ

$$E = \frac{F}{q} \quad (2.2)$$

หรือแรงที่กระทำต่อประจุ q ในสนามไฟฟ้า E หาได้จาก

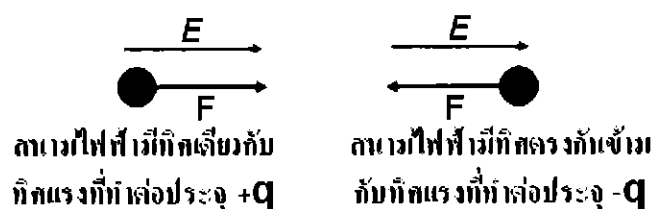
$$F = qE \quad (2.3)$$

F = แรงที่กระทำบนประจุ หน่วยนิวตัน (N)

E = สนามไฟฟ้า หน่วยนิวตันต่อคูลอนบ (N/C)

q = ประจุทดสอบ หน่วยคูลอนบ (C)

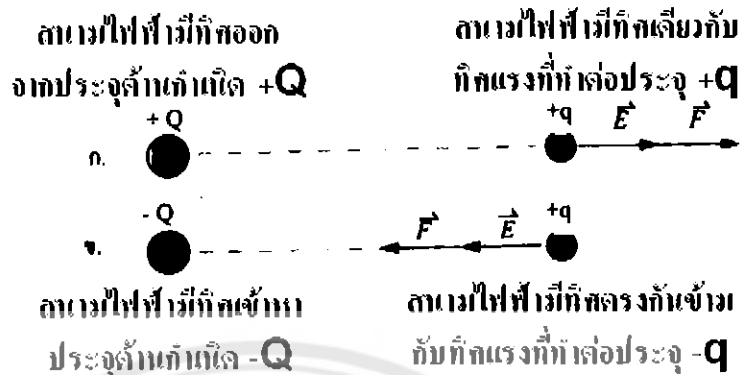
การหาทิศของสนามไฟฟ้าจากแรงที่กระทำต่อประจุทดสอบ q



รูปที่ 2.5 ทิศของสนามไฟฟ้าจากแรงที่กระทำต่อประจุทดสอบ q

(ที่มา : <http://physicskruadd.wordpress.com/2012/03/12/สนามไฟฟ้า-electric-field.html>)

เมื่อพิจารณาเปรียบเทียบทิศของสนามไฟฟ้าทั้ง 2 แบบ



รูปที่ 2.6 เปรียบเทียบทิศของสนามไฟฟ้า

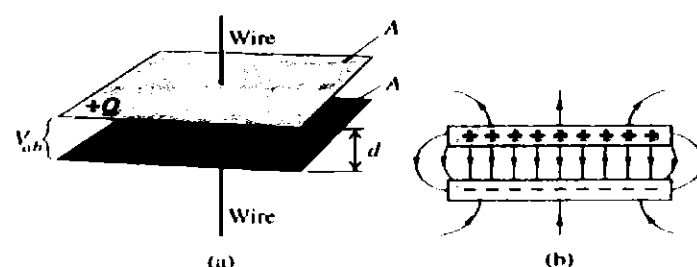
(ที่มา : <http://physicskruadd.wordpress.com/2012/03/12/สนามไฟฟ้า-electric-field.html>)

2.2.3 สนามไฟฟ้าระหว่างแผ่นตัวนำคู่ขนาน

สนามไฟฟ้าระหว่างแผ่นตัวนำคู่ขนานนี้มีแผ่นตัวนำโลหะ 2 แผ่นวางขนานกัน เมื่อทำให้แผ่นหนึ่งมีประจุไฟฟ้า $+Q$ และอีกแผ่นหนึ่งมีประจุไฟฟ้า $-Q$ จะมีสนามไฟฟ้าระหว่างแผ่นทั้งสอง

สนามไฟฟ้าระหว่างแผ่นโลหะนานจะมีค่าคงตัวทั้งขนาดและทิศทาง ขนาดของสนาม E หาได้จากขนาดของแรงที่กระทำต่อประจุ $+1C$ ที่วางในสนามไฟฟ้านี้ หรือหากความต่างศักย์ระหว่างแผ่นนาน/ระยะห่างระหว่างแผ่นนาน

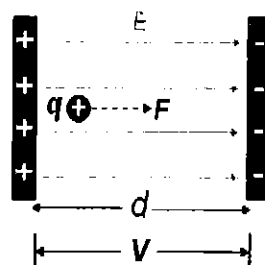
ทิศของสนาม หาจากทิศของแรง เมื่อนำประจุทดสอบว่างลงในสนามไฟฟ้าสมม์เสมอ โดยทิศของสนามไฟฟ้านี้ทิศเดียวกับทิศแรงที่กระทำต่อประจุทดสอบ $+1C$ ที่วางลงในสนามไฟฟ้านี้ และทิศสนามมีทิศตรงกันข้ามกับทิศของแรงที่ทำด้วยประจุลบ หรือสนามไฟฟ้านี้ทิศจากแผ่นนาไปข้างแผ่นลบ



รูปที่ 2.7 สนามไฟฟ้าระหว่างแผ่นตัวนำคู่ขนานนี้มีแผ่นตัวนำโลหะ 2 แผ่นวางขนานกัน

(ที่มา : <http://physicskruadd.wordpress.com/2012/03/12/สนามไฟฟ้า-electric-field.html>)

การหาขนาดของสนามไฟฟ้าสมม์เสมอ



รูปที่ 2.8 การหาขนาดของสนามไฟฟ้าสมม์เสมอ

(ที่มา : <http://physicskruadd.wordpress.com/2012/03/12/สนามไฟฟ้า-electric-field.html>)

สามารถหาขนาดของสนามไฟฟ้าสมม์เสมอได้จากสมการ

$$E = \frac{F}{q} \quad (2.4)$$

หรือสมการ

$$E = \frac{V}{d} \quad (2.5)$$

E = สนามไฟฟ้าสมม์เสมอ หน่วยนิวตันต่อคูลอนบี (N/C) หรือโวลต์ต่อเมตร (V/m)

F = แรงที่กระทำต่อประจุทดลอง q หน่วยนิวตัน (N)

q = ประจุทดลอง ซึ่งอยู่ในสนามไฟฟ้า หน่วยคูลอนบี (C)

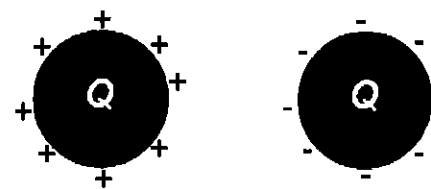
V = ความต่างศักย์ไฟฟ้าระหว่างแผ่นตัวนำข้างนอก หน่วยโวลต์ (V)

d = ระยะห่างระหว่างความต่างศักย์ไฟฟ้า วัดบนกับสนามไฟฟ้า หน่วยเมตร (m)

ข้อสังเกต จากสมการหาสนามไฟฟ้าสมม์เสมอระหว่างแผ่นตัวนำคู่ข้าง ระยะห่างระหว่างแผ่น ขนาดจะเปรียบเทียบกับสนามไฟฟ้า

2.2.4 สนามไฟฟ้าของตัวนำทรงกลม

พิจารณาตัวนำทรงกลมกลวงหรือตันที่มีประจุไฟฟ้าอิสระ ประจุจะกระจายอยู่ที่ผิวของตัวนำทรงกลมสมม์เสมอ ซึ่งพบว่าทรงกลมที่มีประจุนี้ จะแพร่สนามไฟฟ้าไปโดยรอบ และเนื่องจากประจุบนตัวนำทรงกลมกระจายตัวอย่างสมม์เสมออนึ่ง ทำให้เรารายงานว่าสนามไฟฟ้าภายนอกทรงกลมได้ โดยพิจารณาว่าทรงกลมนี้ประพฤติตัวเหมือนจุดประจุ รวมกันอยู่ตรงกลางทรงกลม



รูปที่ 2.9 ประจุของตัวนำทรงกลม

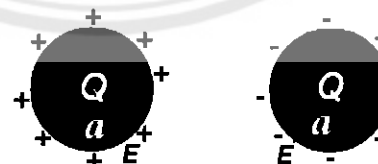
(ที่มา : <http://physicskruadd.wordpress.com/2012/03/12/สนามไฟฟ้า-electric-field.html>)

การหาสนามไฟฟ้าที่จุด A ซึ่งอยู่ห่างจากจุดศูนย์กลางของทรงกลมเป็นระยะ r ก็ตามีผลว่า ประจุ Q ทั้งหมดรวมกันที่จุดศูนย์กลางของทรงกลม ดังนั้น การหาขนาดของสนามไฟฟ้า ณ จุดซึ่งห่างจากจุดศูนย์กลางของทรงกลมเป็นระยะ r หากได้จาก เนื่องจากเดินทางไฟฟ้าตั้งฉากกับผิวของตัวนำ และไม่สามารถผ่านทะลุไปในตัวนำได้ ดังนั้น ภายในตัวนำ ค่าความเข้มของสนามไฟฟ้าจึงมีค่าเป็นศูนย์ส่วน และที่ผิวของตัวนำทรงกลมนี้ความเข้มของสนามไฟฟ้านากที่สุด ซึ่งได้แสดงในรูปที่ 2.10-2.13



รูปที่ 2.10 สนามไฟฟ้าภายในทรงกลมเป็นศูนย์

(ที่มา : <http://physicskruadd.wordpress.com/2012/03/12/สนามไฟฟ้า-electric-field.html>)



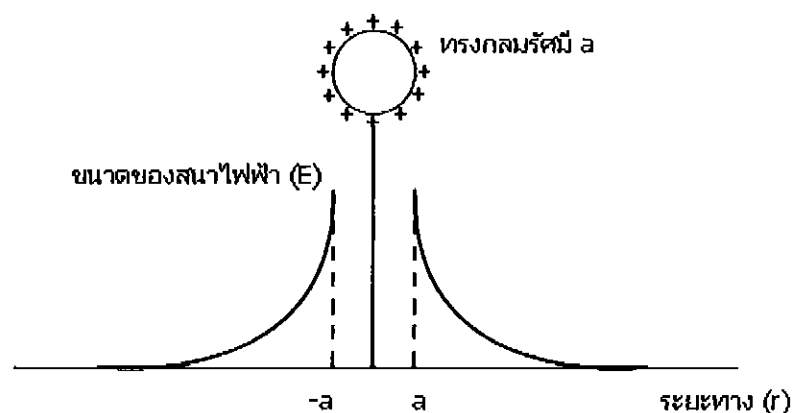
$$E_{\text{ff}} = \text{มีค่ามากที่สุด}$$

$$E_{\text{ff}} = \frac{KQ}{a^2}$$

ตารางอก รัศมี a

รูปที่ 2.11 สนามไฟฟ้าที่ผิวทรงกลมนี้ค่ามากที่สุด

(ที่มา : <http://physicskruadd.wordpress.com/2012/03/12/สนามไฟฟ้า-electric-field.html>)



รูปที่ 2.12 กราฟสนามไฟฟ้าของตัวนำทรงกลม

(ที่มา : <http://physicskruadd.wordpress.com/2012/03/12/สนามไฟฟ้า-electric-field.html>)

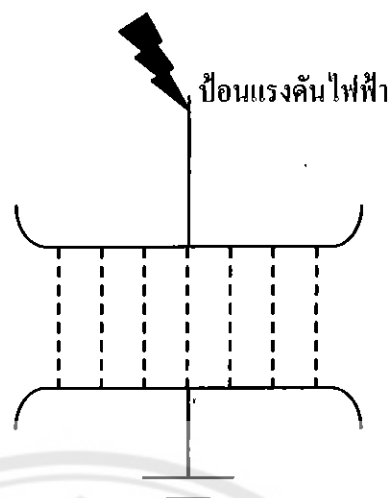


รูปที่ 2.13 สนามไฟฟ้าตั้งฉากกับผิวทรงกลมเสมอ

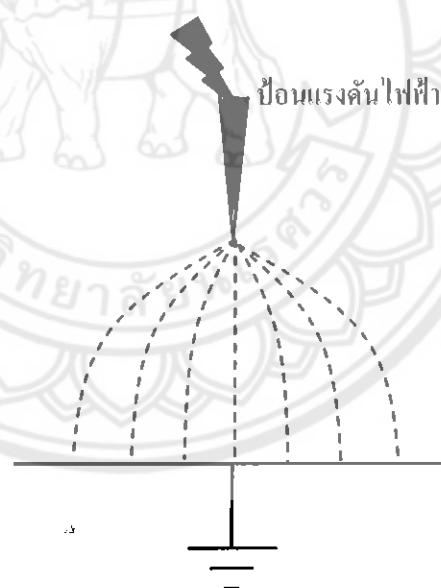
(ที่มา : <http://physicskruadd.wordpress.com/2012/03/12/สนามไฟฟ้า-electric-field.html>)

2.3 โคลโน่ (Corona)

เป็นปรากฏการณ์ที่เกิดเบรกดาวน์บางส่วน (partial breakdown) โดยมีสนามไฟฟ้าบางส่วนสูงจนเกินกว่าสนามไฟฟ้าวิกฤติของอากาศ (30 kV/cm . ที่ 760 มม. proto 20°C ที่ความชื้น $11 \text{ กรัม/ตารางเมตร}$) ทำให้อากาศเปลี่ยนสภาพจากนวนเป็นตัวนำ แต่อากาศไม่ได้เปลี่ยนสภาพเป็นตัวนำทั้งหมดดังไม่เกิดเบรกดาวน์ แต่เกิดโคลโน่



รูปที่ 2.14 สนามไฟฟ้าสมมติเสมอ
(ที่มา : http://psdp.eng.ku.ac.th/file_source/108-3.pdf)



รูปที่ 2.15 สนามไฟฟ้าไม่สมมติเสมอ
(ที่มา : http://psdp.eng.ku.ac.th/file_source/108-3.pdf)

รูปที่ 2.14 แสดงสนามไฟฟ้าสมมติเสมอสำหรับระนาบขนาน (parallel plane) พิจารณาจากจำนวนเส้นแรงสนามไฟฟ้าไม่ว่าที่จุดใดๆ จะมีจำนวนเส้นสนามไฟฟ้าเท่ากัน นั่นก็คือ สนามไฟฟ้า มีค่าเท่ากันในทุกจุด เมื่อปืนแรงดันไฟฟ้าสูงขึ้นเรื่อยๆ จนสนามไฟฟ้าในช่องว่างสูงกว่า

สนามไฟฟ้าวิกฤติของอากาศ (สมบุติให้มีค่า 30 kV/cm) ก็จะทำให้สนามไฟฟ้าทุกจุดในช่องว่าง เกินกว่าสนามไฟฟ้าวิกฤติของอากาศก็เปลี่ยนสภาพจากคนวนเป็นตัวนำทั้งหมดในช่องว่าง และเกิดเบรกดาวน์โดยไม่เกิดโคลน่า

รูปที่ 2.15 แสดงสนามไฟฟ้าไม่สม่ำเสมอส่วนตัวอย่างระนาบแบบก้าน-ระนาบ (rod-plane gap) ซึ่งพิจารณาจากจำนวนเส้นสนามไฟฟ้ามีจำนวนมากที่ปลายแหลม และมีจำนวนเบาบางลงที่ระนาบรี้ยบที่ปลายอีกด้วย นั่นคือ สนามไฟฟ้าที่ปลายแหลมมีค่าสูง เมื่อป้อนแรงดันไฟฟ้าสูงขึ้นเรื่อยๆ จำนวนสนามไฟฟ้าที่ปลายแหลมสูงเกินกว่าสนามไฟฟ้าวิกฤติของอากาศ โดยสนามไฟฟ้าในส่วนอื่นของช่องว่างต่ำกว่าสนามไฟฟ้าวิกฤติของอากาศ ก็ทำให้อากาศเฉพาะบริเวณปลายแหลมเปลี่ยนสภาพจากคนวนเป็นตัวนำ หรือที่เรียกว่าเกิดไออ่อนในชั้น (ionization) ส่วนอากาศบริเวณอื่นๆ ยังเป็นตัวนำอยู่ อย่างนี้เรารอเรียกว่าเกิดเบรกดาวน์บางส่วน (partial breakdown) ไม่เกิดอาร์ก หรือสปาร์กทั้งหมด แต่อากาศบริเวณปลายแหลมแตกตัว ได้ขึ้นเสียง เห็นแสงโคลน่า และโดยทั่วไปการเกิดโคลน่าจะมีไอโซน หรือ O_3 เกิดขึ้น



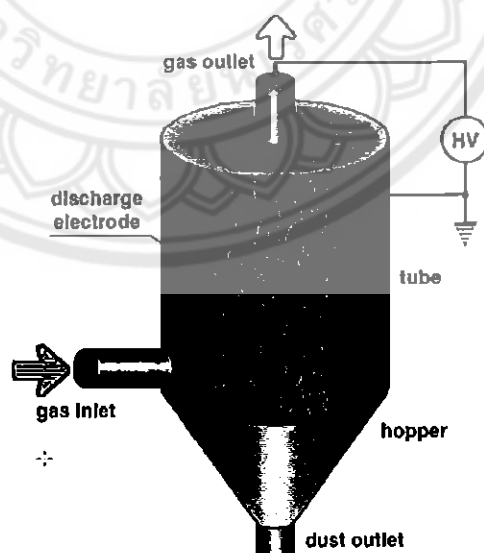
บทที่ 3

การออกแบบและการสร้าง

ข้อมูลและรายละเอียดทางทฤษฎีและหลักการต่างๆ ที่เกี่ยวข้องกับการทำโครงงาน ผู้จัดทำได้รีบแจ้งในบทที่ผ่านมาแล้ว ดังนั้นในบทนี้ผู้จัดทำจึงได้เริ่มออกแบบสร้างเครื่องกำจัดฝุ่น โดยใช้ความต่างศักย์สูงจากไฟกระแสตรง โดยต่อขั้วลงเข้ากันแท่งโลหะแกนกลาง และต่อขั้วบนไว้เข้ากันแผ่นโลหะที่ม้วนเป็นทรงกระบอกล้อมรอบแท่งโลหะที่ต่อ กันขั้วลง โดยให้มีช่องว่างระหว่างแผ่นโลหะขั้วบนกับแท่งโลหะขั้วลง ซึ่งจะทำให้เกิดสนามไฟฟ้าที่มีค่าสูงมากพอที่จะทำให้ออนุภาคในอากาศสกปรกที่ผ่านเข้ามาได้รับอิเล็กตรอนจากแกนกลางจมน้ำลายเป็นอนุภาคประจุลบ และถูกดูดเข้าไปโดยที่แผ่นโลหะที่ต่อเข้ากันขั้วบนซึ่งโครงสร้างของเครื่องกำจัดฝุ่นประกอบไปด้วยส่วนหลักได้แก่ 1. ส่วนของแหล่งจ่ายไฟฟ้ากระแสตรงแรงดันสูง และ 2. ส่วนของโครงสร้างในการดักจับฝุ่น

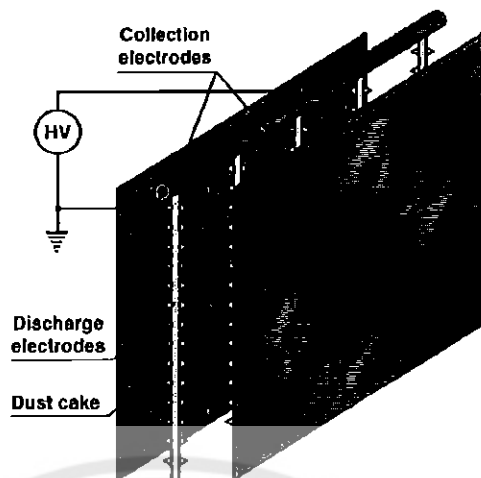
3.1 ชนิดของเครื่องกำจัดฝุ่นไฟฟ้าสถิต

เครื่องกำจัดฝุ่นไฟฟ้าสถิตสามารถแบ่งตามโครงสร้าง ได้เป็น 2 ชนิด คือ 1.แบบท่อทรงกระบอก และ 2.แบบแผ่นบาง



รูปที่ 3.1 เครื่องกำจัดฝุ่นไฟฟ้าสถิตชนิดแบบท่อทรงกระบอก

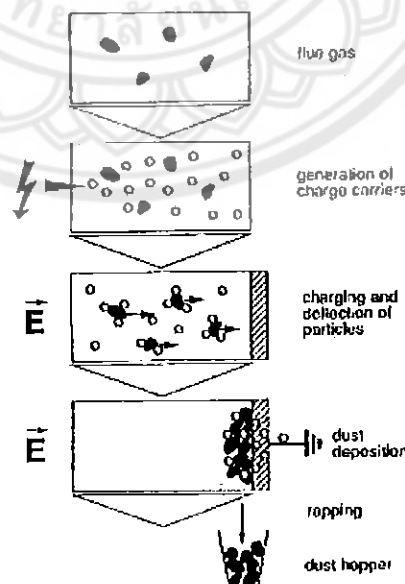
(ที่มา : http://www.nstda.or.th/nac2011/presentation/ppt_nac2011_phoon.pdf)



รูปที่ 3.2 เครื่องกำจัดฝุ่นไฟฟ้าสถิตชนิดแบบแผ่นบาง

(ที่มา : http://www.nstda.or.th/nac2011/presentation/ppt_nac2011_phoon.pdf)

เครื่องกำจัดฝุ่นไฟฟ้าสถิตทั้ง 2 ชนิด มีโครงสร้างที่แตกต่างกัน แต่หลักการทำงานของเครื่องนั้นใช้หลักการทำงานเดียวกันคือจ่ายไฟฟ้าแรงดันสูงให้เกิดความต่างศักย์ระหว่างแกนกลางกับแผ่นดักจับฝุ่น เพื่อให้เกิดสนามไฟฟ้าที่มีค่าสูงมากพอที่จะทำให้มีอิเล็กตรอนบางส่วนหลุดจากแกนกลาง เมื่อฝุ่นผ่านเข้ามา อิเล็กตรอนจะไปเกาะฝุ่น ทำให้ฝุ่นมีอนุภาคเป็นลบและวิ่งเข้าไปติดแผ่นวงคั่งที่แสดงไว้ในรูปที่ 3.3

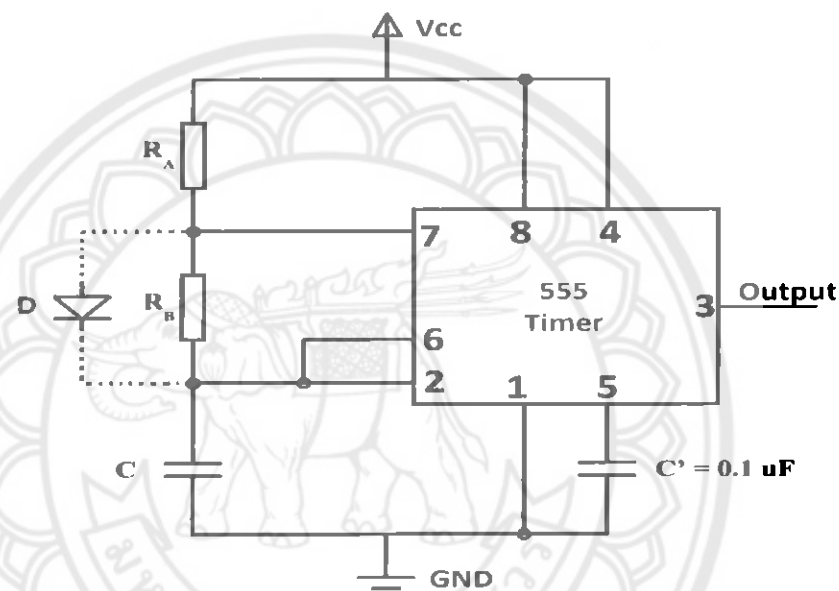


รูปที่ 3.3 หลักการทำงานของเครื่องกำจัดฝุ่น

(ที่มา : http://www.nstda.or.th/nac2011/presentation/ppt_nac2011_phoon.pdf)

3.2 การออกแบบและการสร้างแหล่งจ่ายไฟฟ้ากระแสตรงแรงดันสูง

ในการสร้างไฟฟ้ากระแสตรงแรงดันสูงนี้ ผู้จัดทำได้ใช้มอเตอร์พลาญเบกในการสร้างไฟฟ้ากระแสตรงแรงดันสูง โดยใช้วงจรสร้างพัลส์เพื่อใช้ในการควบคุมอุปกรณ์สวิตชิ่งที่ควบคุมการจ่ายไฟฟ้าให้กับมอเตอร์พลาญเบก ซึ่งใช้หลักการ Astable Multivibrator ที่ใช้ไอซี 555 เป็นวงจรสร้างพัลส์เพื่อควบคุมการทำงานของอุปกรณ์สวิตชิ่ง



รูปที่ 3.4 Astable Multivibrator

3.2.1 หลักการทำงานของ Astable Multivibrator

ใช้หลักการเก็บประจุ และ淘汰ประจุของค่าปั๊สเตอร์ โดยจะทำการเก็บประจุผ่าน R_A , R_B (กรณีที่ไม่ต้องได้ออคบ้านกับ R_B) หรือเก็บประจุผ่าน R_A (กรณีที่ต้องได้ออคบ้านกับ R_B) และจะ淘汰ประจุผ่าน R_B และ Tr ภายในลง GND ในกรณีที่ไม่ต้องได้ออคบ้านกับ R_B

ขณะที่ค่าปั๊สเตอร์ทำการเก็บประจุจนถึงระดับแรงดัน $\frac{2}{3}V_{cc}$ ขณะนั้นแรงดันเอาต์พุตมี

ค่าเท่ากับแรงดัน V_{cc} ($V_{Output} = V_{cc}$)

ขณะที่ค่าปั๊สเตอร์คายประจุออก เกิดแรงดันตกคร่อมมีช่วงจาก $\frac{2}{3}V_{cc}$ ถึง $V_{cc}/3$

ขณะนั้นแรงดันเอาต์พุตมีค่าเท่ากับศูนย์โวลต์ ($V_{Output} = 0$)

การวิเคราะห์เวลาในการ Charge และ Discharge Capacitor
เวลาในการ charge C จาก 0 ถึง $V_{cc} / 3$ ใช้เวลา t_1

$$\begin{aligned}V_c(t) &= V_{cc}(1 - e^{-t/RC}) \\V_{cc}/3 &= V_{cc}(1 - e^{-t_1/RC}) \\-t_1/RC &= \ln 2/3 = -0.405 \\t_1 &= 0.405RC\end{aligned}$$

เวลาในการ charge C จาก 0 ถึง $2/3V_{cc}$ ใช้เวลา t_2

$$\begin{aligned}2/3V_{cc} &= V_{cc}(1 - e^{-t_2/RC}) \\-t_2/RC &= \ln 1/3 = -1.098 \\t_2 &= 1.098RC \\T_1 &= t_2 - t_1 = (1.098 - 0.405)RC \\T_1 &= 0.693RC\end{aligned}\tag{3.1}$$

เมื่อไม่มีการต่อไดโอดขนาด R_B จะได้ $R = R_A + R_B$ ดังนั้น

$$\begin{aligned}T_1 &= 0.69(R_A + R_B)C \\&\text{เมื่อมีการต่อไดโอดขนาด } R_B \text{ จะได้ว่า } R = R_A \\T_1 &= 0.69R_A C\end{aligned}\tag{3.2}$$

เวลาในการ discharge C จาก $2/3V_{cc}$ ถึง $V_{cc} / 3$

$$\begin{aligned}V_c(t) &= V e^{-t/RC} \\V_{cc}/3 &= 2/3V_{cc} e^{-t_2/RC} \\-t_2/RC &= \ln 1/3 = -1.098 \\t_2 &= 1.098RC \\T_2 &= 0.69(R_B)C\end{aligned}\tag{3.4}$$

เมื่อ $T = T_1 + T_2$ ดังนั้น

ค่าความเวลากรีฟ์ไม่มีโอดต่อขนาดกับ R_B สามารถหาได้จากสมการ

$$T = 0.69(R_A + 2R_B)C \quad (3.5)$$

และค่าความเวลากรีฟ์ที่มีโอดต่อขนาดกับ R_B สามารถหาได้จากสมการ

$$T = 0.69(R_A + R_B)C \quad (3.6)$$

สามารถคำนวณค่าความถี่ของ square wave ได้ดังนี้
กรีฟ์ไม่มีโอดขนาดกับ R_B จะหาค่าความถี่ได้จากสมการ

$$F = 1 / 0.69(R_A + 2R_B)C \quad (3.7)$$

กรีฟ์ที่มีโอดขนาดกับ R_B จะหาค่าความถี่ได้จากสมการ

$$F = 1 / 0.69(R_A + R_B)C \quad (3.8)$$

3.2.2 ออกแบบค่าตัวต้านทานและตัวเก็บประจุ

ผู้จัดทำได้ออกแบบให้มือแปลงฟลายแบคทำงานที่ความถี่ 18 KHz ดังนั้นจึงต้องสร้างพัลส์เพื่อใช้ในการควบคุมการทำงานของอุปกรณ์สวิตชิ่ง จากสมการที่ 3.8 เมื่อต้องการสร้างพัลส์ที่ความถี่ 18 KHz และ Duty Cycle 25% จะได้ว่า

$$18K = 1 / 0.69(R_A + R_B)C$$

เนื่องจากค่าตัวต้านทานมีค่าให้เลือกหลากหลายกว่าตัวเก็บประจุ จึงเลือกค่าตัวเก็บประจุเป็นอันดับแรก ในที่นี้ได้เลือกใช้ $0.1 \mu F$ จะได้ว่า

$$\begin{aligned} 18K &= 1 / 0.69(R_A + R_B)0.1\mu \\ (R_A + R_B) &= 805.153 \Omega \end{aligned} \quad (3.6)$$

หาค่าความเวลาที่ 18 KHz จาก

$$F = 1/T$$

จะได้

$$18K = 1/T$$

$$T = 55.556 \mu s$$

กำหนดให้ช่วงเวลา T_1 ทำงานคิดเป็นเวลา 25% ของเวลาค่า T จะได้ว่า

$$T_1 = 0.25 \cdot T$$

$$T_1 = 0.25 \cdot 55.556 \mu$$

$$T_1 = 13.889 \mu s$$

หาค่า R_A จากสมการ 3.3

$$T_1 = 0.69(R_A)C$$

แทนค่า C และ T_1 จะได้

$$13.889 \mu = 0.69R_A \cdot 0.1 \mu$$

$$R_A = 201.29 \Omega$$

กำหนดให้ช่วงเวลา T_2 ทำงานคิดเป็นเวลา 75% ของเวลาค่า T จะได้ว่า

$$T_2 = 0.75 \cdot T$$

$$T_2 = 0.75 \cdot 55.556 \mu$$

$$T_2 = 41.667 \mu s$$

หาค่า R_B จากสมการ 3.4

$$T_2 = 0.69(R_B)C$$

แทนค่า C และ T_2 จะได้

$$41.667 \mu = 0.69(R_B) \cdot 0.1 \mu$$

$$R_B = 603.87 \Omega$$

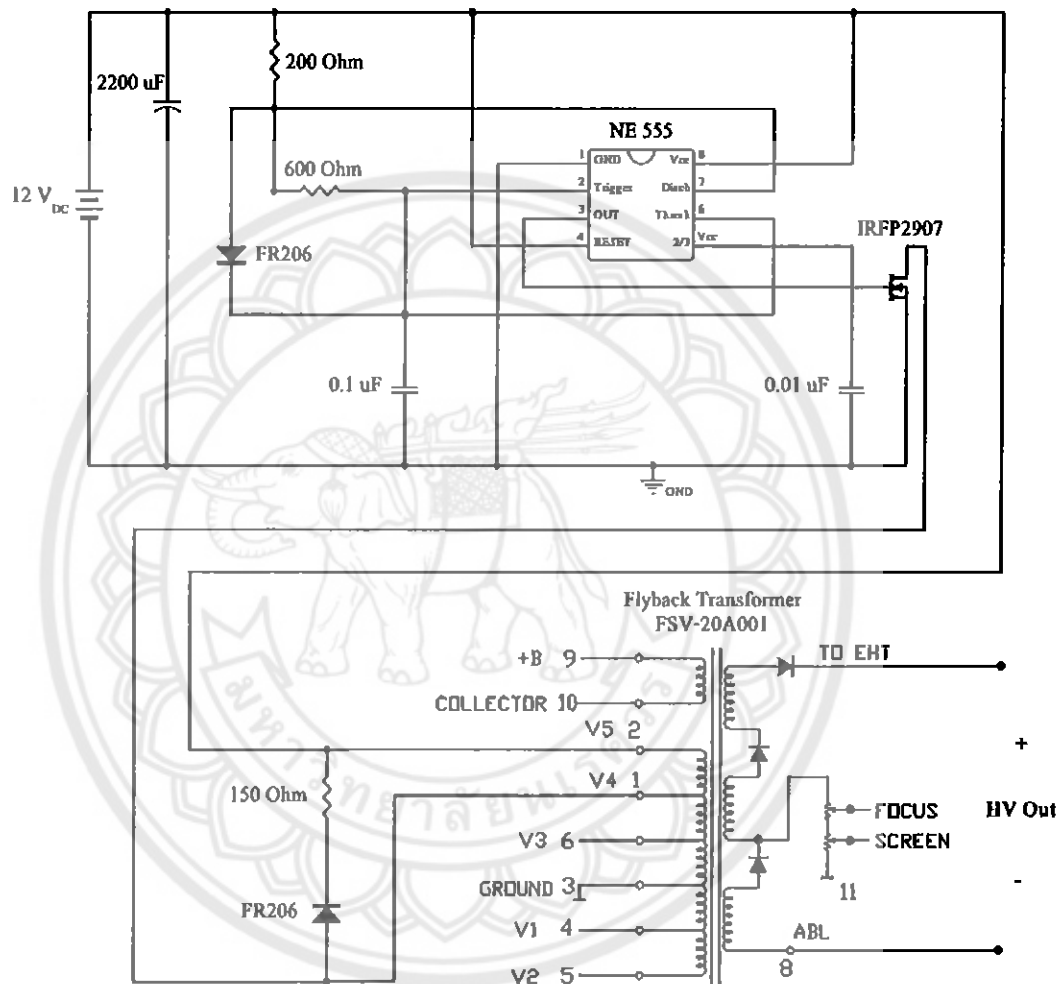
จะได้ค่าตัวต้านทานและตัวเก็บประจุดังนี้ $R_A = 201.29 \Omega$, $R_B = 603.87 \Omega$ และ $C = 0.1 \mu F$

เนื่องจากค่าความต้านทานที่ได้ไม่มีข่ายตามท้องตลาด ดังนั้นเราจึงเลือกใช้ค่าความต้านทานที่มีข่ายตามท้องตลาดที่มีค่าใกล้เคียงกับค่าที่ได้ $R_A = 200 \Omega$, $R_B = 600 \Omega$ และ $C = 0.1 \mu F$

นำค่า $R_A = 200 \Omega$, $R_B = 600 \Omega$ และ $C = 0.1 \mu F$ เพื่อหาค่าความถี่ไอซี 555 สร้างขึ้น จากสมการ 3.8 จะได้ว่า

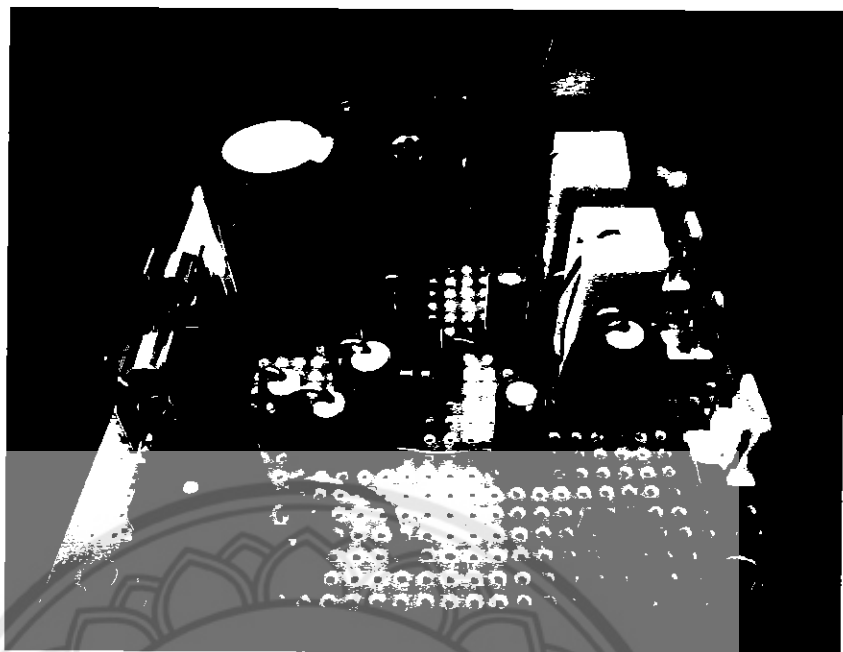
3.2.3 วิธีสร้างไฟฟ้ากระแสตรงแรงดันสูง

แหล่งจ่ายไฟฟ้ากระแสตรงแรงดันสูงนี้ ผู้จัดทำได้สร้างแหล่งจ่ายที่สามารถจ่ายไฟฟ้าแรงดันสูงที่ประมาณ 9000 โวลต์



รูปที่ 3.6 วงจรสร้างไฟฟ้ากระแสตรงแรงดันคง

จากที่ได้ออกแบบวงจรสร้างพัลส์เพื่อควบคุมการทำงานของอุปกรณ์สวิตชิ่ง โดยใช้ไอซี 555 แล้ว จากนั้นนำพัลส์ที่ได้มานำไปใช้ในการควบคุมการทำงานของอุปกรณ์สวิตชิ่ง โดยผู้จัดทำได้จำกไฟฟ้าขนาดแรงดัน 12 โวลต์ ให้กับวงจร โดยเลือกใช้มอสเฟตเบอร์ IRFP2907 เป็นอุปกรณ์สวิตชิ่ง และทำการเพิ่มให้เป็นแรงดันสูง โดยใช้หน้อแปลงฟลายแบคสำเร็จรูป ซึ่งหน้อแปลงฟลายแบคสำเร็จรูปนี้จะมีไดโอดในตัวหน้อแปลงที่ทำหน้าที่เรียงกระแส ดังนั้นไฟฟ้าที่ได้จึงเป็นไฟฟ้ากระแสตรงแรงดันสูง ในที่นี้ผู้จัดทำได้เลือกใช้หน้อแปลงฟลายแบคเบอร์ FSV-20A001



รูปที่ 3.7 วงจรจ่ายไฟฟ้าให้หน้อแปลงฟลายแบค

“1” กีอิ DC Power Adapter Barrel Jack ใช้สำหรับเป็นตัวรับไฟฟ้ากระแสตรง 12 โวลต์ จากแหล่งจ่ายไฟฟ้าและจ่ายไฟฟ้าให้กับวงจร

“2” กีอิ พอร์ตเอาต์พุต 12 โวลต์ สำหรับจ่ายไฟฟ้ากระแสตรง 12 โวลต์ ให้กับพัดลมระบายอากาศของชิปซิงค์

“3” กีอิ พอร์ตเอาต์พุต 12 โวลต์ สำหรับจ่ายไฟฟ้ากระแสตรง 12 โวลต์ ให้กับพัดลมระบายอากาศของกล่องใส่ส่วงจร

“4” กีอิ พอร์ตเอาต์พุต 12 โวลต์ ที่ความถี่ประมาณ 17.674 KHz สำหรับจ่ายไฟฟ้าให้กับหน้อแปลงฟลายแบค

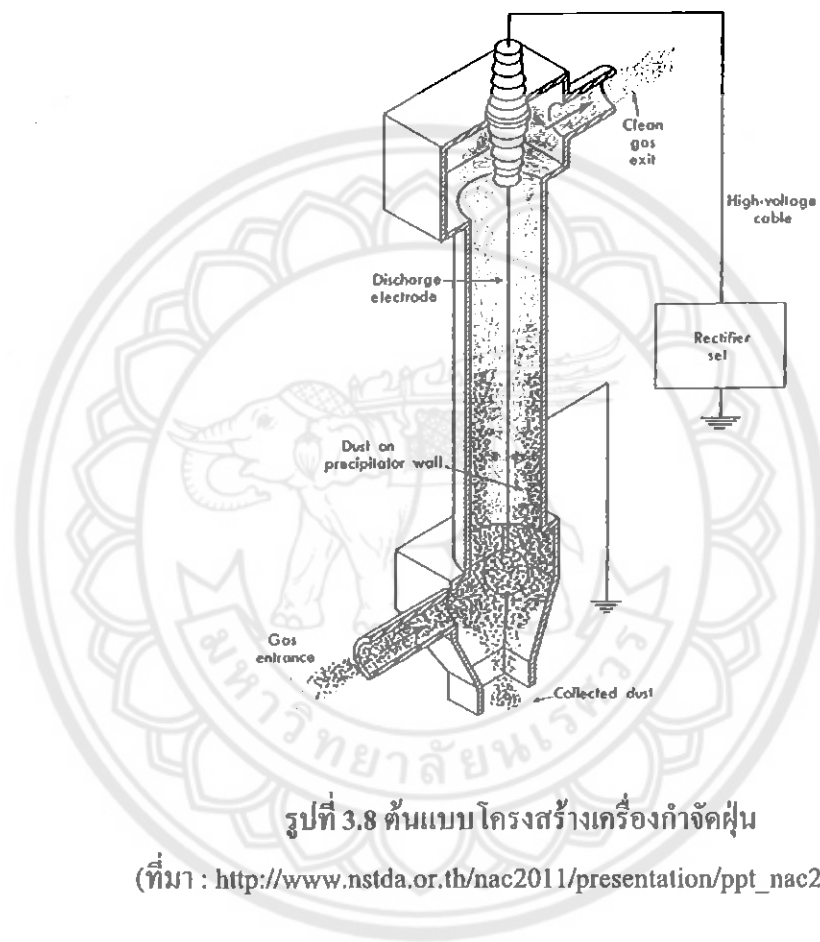
“5” กีอิ ไฟแสดงสถานะทำงานของวงจร เพื่อให้ทราบว่าวงจรมีไฟฟ้าอยู่ในวงจรหรือไม่

“6” กีอิ ไฟสัมภัต 5 A สำหรับป้องกันวงจร

“7” กีอิ ชิปซิงค์และพัดลมชิปซิงค์ สำหรับระบายความร้อนของ mosfet

3.3 โครงสร้างในการคัดจับฝุ่น

ส่วนของโครงสร้างคัดจับฝุ่นนี้ ผู้จัดทำได้ออกแบบโครงสร้างให้เป็นเครื่องกำจัดฝุ่นชนิดแบบท่อ ในการออกแบบโครงสร้างนี้ ได้แสดงในรูปที่ 3.8



รูปที่ 3.8 ต้นแบบโครงสร้างเครื่องกำจัดฝุ่น

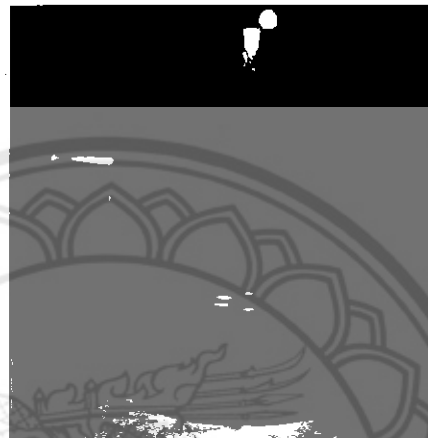
(ที่มา : http://www.nstda.or.th/nac2011/presentation/ppt_nac2011_phoon.pdf)

โครงสร้างในการคัดจับฝุ่นนี้ ผู้จัดทำได้ใช้ห่อพีวีซีเป็นตัวโครงสร้างหลัก เนื่องจาก ห่อพีวีซีสามารถหาซื้อย่างง่าย นำมาประกอบให้มีลักษณะเหมือนต้นแบบได้ง่าย และยังไม่น้ำไฟฟ้าจึง ทำให้เพิ่มความปลอดภัยต่อผู้ใช้งาน โดยจะใช้สังกะสีเป็นแผ่นคัดจับฝุ่น และใช้สกรูตัวหนอนเป็น แกนกลาง การเลือกขนาดห่อท่อต้องระวังไม่ให้เกิดการอาร์คระหว่างแท่งแกนกลางกันแผ่นคัดจับฝุ่น

ผู้จัดทำได้ออกแบบให้โครงสร้างในการคัดจับฝุ่นนี้แบ่งเป็น 3 ส่วนหลักคือ 1. ปล่องทางเข้าของฝุ่นและที่เก็บสะสมฝุ่น 2. แผ่นคัดจับฝุ่น 3. ปล่องทางออกของฝุ่นและแกนกลาง

3.3.1 ปล่องทางเข้าของผู้นับและที่เก็บสะสมผู้นับ

ปล่องทางเข้าของผู้นับทำหน้าที่เป็นปล่องสำหรับนำผู้นับเข้ามาบังเครื่องกำจัดผู้นับ โดยผู้จัดทำได้ใช้ข้อต่อสามทางของท่อพีวีซีมาทำเป็นปล่องทางเข้า ปล่องด้านข้างจะเชื่อมต่อกับท่อภายนอกที่ปล่อยผู้นับออกมานอก ด้านบนเชื่อมต่อกับส่วนของแผ่นดักจับผู้นับ ด้านล่างจะเชื่อมต่อกับที่เก็บสะสมผู้นับ

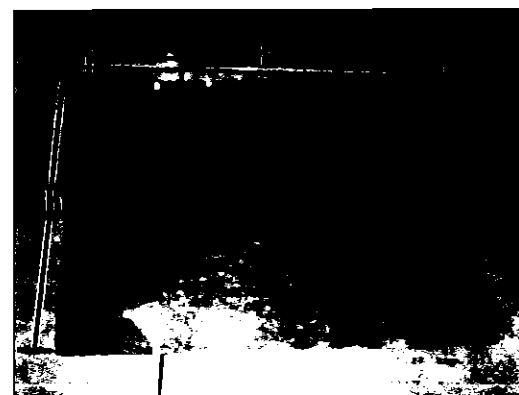


รูปที่ 3.9 ปล่องทางเข้าของผู้นับและที่เก็บสะสมผู้นับ

3.3.2 แผ่นดักจับผู้นับ

แผ่นดักจับผู้นับเป็นส่วนที่สำคัญที่สุดของโครงสร้างดักจับผู้นับ เนื่องจากต้องเป็นตัวดักจับผู้นับที่ต้องการกำจัดและผ่านเข้ามาบังเครื่องกำจัดผู้นับ โดยแผ่นดักจับผู้นับนี้จะเชื่อมต่อกับขั้วบวกของวงจรสร้างไฟฟ้ากระแสตรงแรงคันสูง ในส่วนของแผ่นดักจับผู้นับนี้ด้านนอกจะทำการห่อพีวีซี ส่วนด้านในที่เป็นแผ่นดักจับผู้นับจะทำการแผ่นสังกะสี โดยจะตัดสังกะสีให้มีขนาดที่สามารถนิ่มนวลไปติดด้านในห่อพีวีซีได้โดยจะต้องมีส่วนที่หันกันพอประมาณเพื่อเจาะรูเชื่อมกับไฟฟ้าแรงคันสูงขั้วบวกจากวงจรด้านนอก วิธีการทำแผ่นดักจับผู้นับมีดังต่อไปนี้

1. ตัดสังกะสีให้มีขนาดที่สามารถนิ่มนวลติดข้างในห่อพีวีซีโดยให้มีส่วนที่หันกันพอประมาณ ดังในรูปที่ 3.10 โดยมีขนาดดังที่แสดงในตารางที่ 3.1

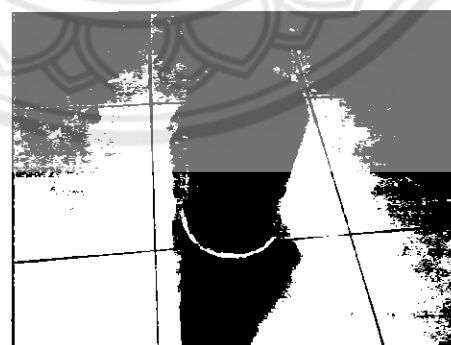


รูปที่ 3.10 แผ่นสังกะสีที่ใช้ทำเป็นแผ่นดักจับผู้น

ตารางที่ 3.1 ขนาดของสังกะสีที่ใช้ทำแผ่นดักจับผู้น

ขนาดของห่อพีวีซี (นิ้ว)	ความยาวด้าน h (ซม.)	ความยาวด้าน L (ซม.)
2	23	21
3	23	29
4	23	37

2. ม้วนสังกะสีที่ได้ตัดไว้ติดลงไปในห่อ ดังในรูปที่ 3.11



รูปที่ 3.11 การม้วนสังกะสีติดขึ้นในห่อ

3. เจาะรูห่อพีวีซีและสังกะสีเพื่อเชื่อมต่อกับไฟฟ้าแรงดันสูงจากวงจรที่อยู่ภายนอก และเพื่อชีคให้แผ่นสังกะสีส่วนที่เหลือมันกันอยู่นั้นติดกัน ดังในรูปที่ 3.12 และรูปที่ 3.13



รูปที่ 3.12 การเจาะรูห่อพีวีซีและสังกะสี



รูปที่ 3.13 ด้านในของส่วนที่เป็นแผ่นเด็กจับผู้น

3.3.3 ปล่องทางออกของผู้นและแกนกลาง

ปล่องทางออกของผู้นเป็นปล่องที่ทำหน้าที่นำอากาศที่ถูกดักจับผู้นแล้ว ออกไปยังภายนอก ปล่องทางออกนี้ทำมาจากข้อต่อสามทางของห่อพีวีซี ปล่องด้านล่างจะเชื่อมต่อกับแผ่นเด็กจับผู้น ปล่องด้านซ้ายจะเป็นปล่องนำอากาศที่ผ่านการดับจับผู้นแล้วออกสู่ภายนอก ปล่องด้านบนจะเชื่อมต่อกับแท่งแกนกลาง โดยแท่งแกนกลางจะอยู่กลางห่อซึ่งจะมีความยาวเล็กน้อยจากส่วนของแผ่นเด็กจับผู้นซึ่งจะถูกยึดอยู่กับแผ่นอะคริลิกที่มีลักษณะเป็นวงกลมและมีรูอยู่กึ่งกลางซึ่งนิ่งนาด ดังตารางที่ 3.2 แผ่นอะคริลิกนี้มีหน้าที่สำหรับยึดแท่งโลหะแกนกลางให้อยู่กึ่งกลางหองห่อ เมื่อต่อส่วนของปล่องด้านบนเข้ากับส่วนของแผ่นเด็กจับผู้น แกนกลางนี้จะต้องเชื่อมต่อกับแหล่งจ่ายไฟฟ้าจากภายนอก

ตารางที่ 3.2 ขนาดแผ่นอะคริลิก

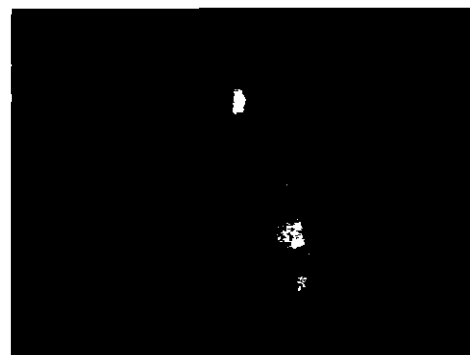
ขนาดของห่อพีวีซี (นิ้ว)	ขนาดเส้นผ่าศูนย์กลางแผ่นอะคริลิก (นิ้ว)	ขนาดเส้นผ่าศูนย์กลางรูที่ กึ่งกลาง (มม.)
2	2.5	8
3	3.5	8
4	4.5	8



รูปที่ 3.14 ลักษณะของแผ่นอะคริลิก



รูปที่ 3.15 ปล่องทางออกและแกนกลาง



รูปที่ 3.16 การเชื่อมต่อไฟฟ้าเข้ากับแกนกลาง

บทที่ 4

การทดสอบและผลการทดสอบ

จากการที่ได้ออกแบบและสร้างเครื่องกำจัดฝุ่นแล้ว ในบทนี้จะกล่าวถึงการสร้างชุดทดลอง การทดลอง และผลการทดลอง โดยได้ออกแบบการทดลองไว้ดังนี้

1. ทดลองความถี่ของวงจรสร้างพัลส์และการทำงานของอุปกรณ์สวิตชิ่ง

2. ทดลองแรงดันไฟฟ้าหลังออกจากหม้อแปลงฟลายแบนค์

3. ทดลองวัดกำลังไฟฟ้าที่สูญเสียของเครื่องกำจัดฝุ่น

4. ทดลองประสิทธิภาพของเครื่องกำจัดฝุ่น โดยทดลองทั้ง 3 ขนาด ได้แก่ ขนาดเล็ก (ท่อพีวีซี 2 นิ้ว) ขนาดกลาง (ท่อพีวีซี 3 นิ้ว) และขนาดใหญ่ (ท่อพีวีซี 4 นิ้ว)

4.1 ทดลองของวงจรสร้างพัลส์และการทำงานของอุปกรณ์สวิตชิ่ง

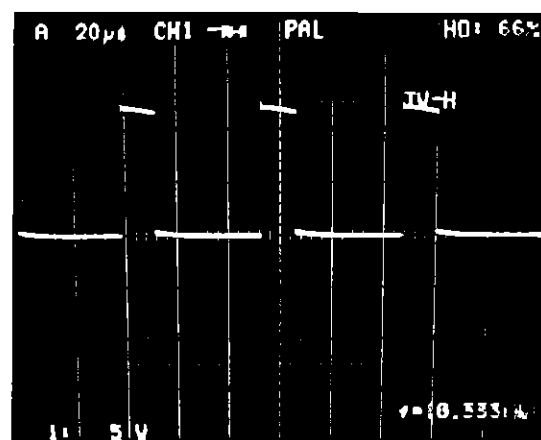
ในการทดลองนี้จะเป็นการทดลองเพื่อศึกษาและสัญญาณของแรงดัน และความถี่ที่สร้างขึ้น นี้ เป็นความที่ได้ออกแบบไว้หรือไม่ โดยใช้เครื่องออกซิซิล โลสโคลปในการทดลอง ซึ่งจะทำการทดลองของวงจรสร้างพัลส์เพื่อกวนคุณอุปกรณ์สวิตชิ่งและการทำงานของอุปกรณ์สวิตชิ่ง

4.1.1 ผลการทดลองของวงจรสร้างพัลส์และการทำงานของอุปกรณ์สวิตชิ่ง

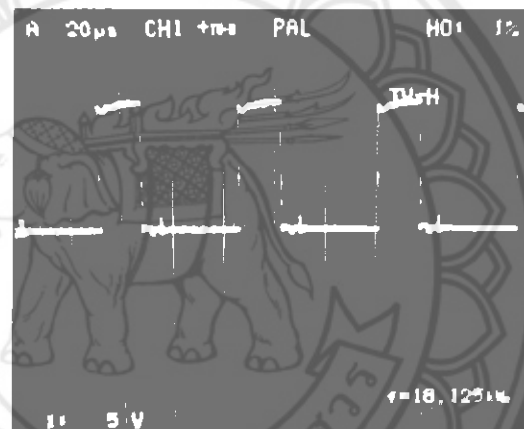
ผู้จัดทำได้ใช้ออซิซิล โลสโคลปทำการวัดค่าความถี่และรูปสัญญาณแรงดันของวงจรสร้าง พัลส์ การทำงานของอุปกรณ์สวิตชิ่ง และแรงดันอินพุตด้านปฐมภูมิของหม้อแปลงฟลายแบนค์ โดย ความถี่และรูปสัญญาณแรงดันนั้น ได้แสดงไว้ในรูปที่ 4.1-4.4 และตารางที่ 4.1

ตารางที่ 4.1 ผลการทดลองของวงจรสร้างพัลส์

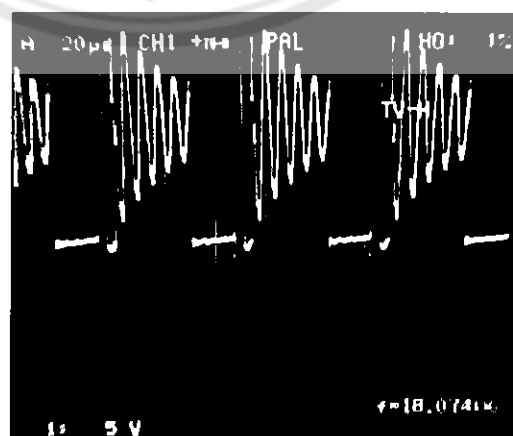
ผลการทดลองของวงจรสร้างพัลส์				
ครั้งที่	ความถี่ที่สร้างขึ้น (KHz)	ความเวลาทั้งหมด (μs)	ความเวลาช่วง T_{on} (μs)	Duty Cycle (%)
1	18.333	54	13	24.07
2	18.336	54	13	24.07
3	18.341	54	13	24.07



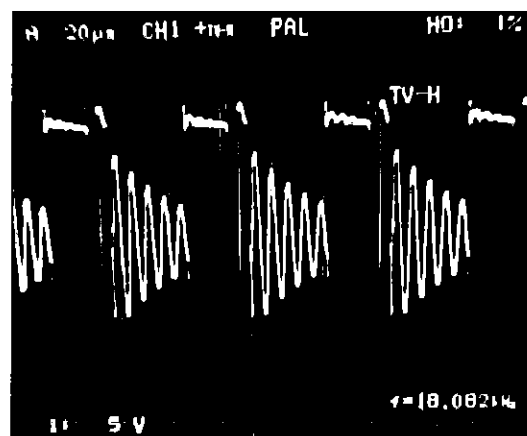
รูปที่ 4.1 สัญญาณ Output ของวงจรสร้างพัลส์



รูปที่ 4.2 แรงดันที่ขาเก็บของมอสเฟต



รูปที่ 4.3 แรงดันที่ขาเดรนของมอสเฟต



รูปที่ 4.4 แรงดันด้านปฐมภูมิของหน้าจอแปลงฟลายแบค

4.2 ทดลองระดับแรงดันที่ออกจากหน้าจอแปลงฟลายแบค

เนื่องจากแรงดันไฟฟ้าที่ออกจากหน้าจอแปลงฟลายแบคนี้เป็นไฟฟ้าแรงดันสูง จึงจำเป็นต้องใช้โอลต์มิเตอร์แรงสูงในการวัด แต่ทางผู้จัดทำไม่มีโอลต์มิเตอร์แรงสูง จึงจำเป็นต้องสร้างวงจรแบ่งแรงดันไฟฟ้า

4.2.1 สร้างวงจรแบ่งแรงดันไฟฟ้า

ผู้จัดทำได้ออกแบบให้วัดแรงดันสูงสุดที่ 30,000 โวลต์ โดยใช้ความต้านทานค่อนุกรนกันซึ่งความต้านทานท่านจะต้องมีค่าสูงมากพอที่จะจำกัดกระแสที่ไหลผ่านให้มีค่าไม่เกิน 1mA ตัวต้านทานที่ใช้มีขนาด $1 M\Omega$ และ $1 K\Omega$ โดยออกแบบดังนี้

จาก

$$R = V / I$$

ที่แรงดัน กระแส 1 mA จะได้ว่า

$$R = \frac{30 \times 10^3}{1 \times 10^{-3}}$$

$$R = 30 M\Omega$$

ดังนั้นจะใช้ตัวต้านทาน $1 M\Omega$ จำนวน 30 ตัว และ $1 K\Omega$ จำนวน 1 ตัว หาอัตราการแทนกำลังไฟฟ้าของตัวต้านทานแต่ละตัวดังนี้

$$P = V^2 / R \quad (4.1)$$

หาแรงดันตกคร่อมตัวต้านทาน $1 K\Omega$ ที่ระดับแรงดันสูงสุด 30,000 โวลต์ จะได้ว่า

$$V_{R1K} = \frac{1K}{30M + 1K} \times 30K$$

$$V_{R1K} = 1 \text{ V}$$

จากสมการ 4.1 ตัวต้านทาน $1 K\Omega$ จะต้องทนกำลังไฟฟ้าได้

$$P_{R1K} = 1^2 / 1K$$

$$P_{R1K} = 1 \text{ mW}$$

ดังนั้น จึงเลือกใช้ตัวต้านทาน $1 K\Omega 1W$ จำนวน 1 ตัว

หาแรงดันตกคร่อนตัวต้านทาน $1 M\Omega$ ที่ระดับแรงดันสูงสุด 30,000 โวลต์ จะได้ว่า

$$V_{R1M} = \frac{1M}{29M + 1K + 1M} \times 30K$$

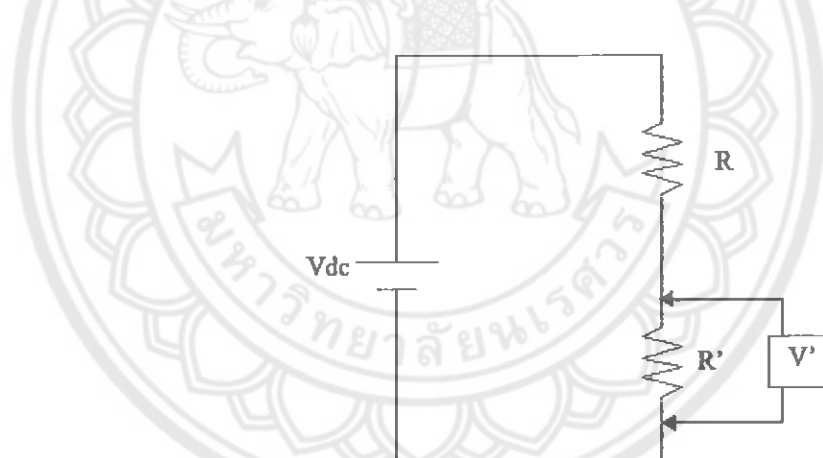
$$V_{R1M} = 999.97 \text{ V}$$

จากสมการ 4.1 ตัวต้านทาน $1 M\Omega$ จะต้องทนกำลังไฟฟ้าได้

$$P_{R1M} = 999.97^2 / 1M$$

$$P_{R1M} = 1 \text{ W}$$

ดังนั้น จึงเลือกใช้ตัวต้านทาน $1 M\Omega 1W$ จำนวน 30 ตัว

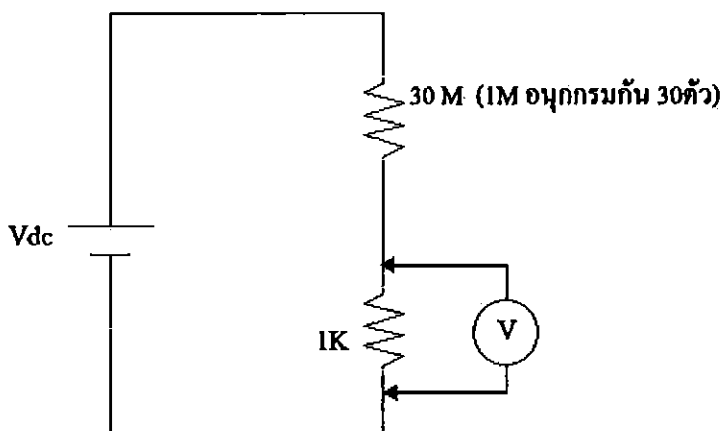


รูปที่ 4.5 ความสัมพันธ์ระหว่าง Vdc และ V'

จากรูปที่ 4.5 สามารถหาแรงดัน V' ได้จากสมการ

$$V' = \left(\frac{R'}{R' + R} \right) Vdc$$

$$Vdc = \left(\frac{R + R'}{R'} \right) V'$$



รูปที่ 4.6 วงจรแบ่งแรงดันที่ได้ออกแบบ

จากรูปที่ 4.6 สามารถหาแรงดัน V_{dc} ได้จากสมการ

$$V_{dc} = \left(\frac{30M + 1K}{1K} \right) V$$

$$V_{dc} = 30001V$$

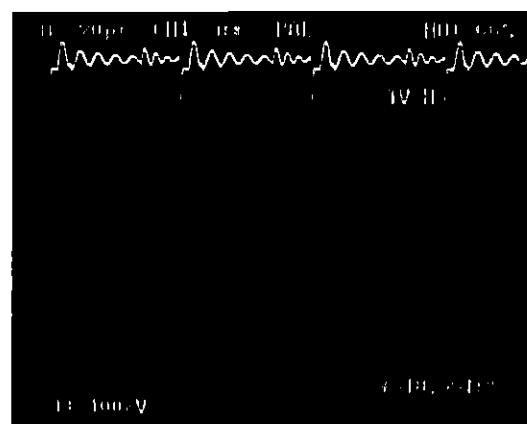
ดังนั้นวงจรแบ่งแรงดันเมื่อเอาไปใช้วัดจะมีอัตราส่วน $1 : 30,001$ โวลต์

4.2.2 ผลการทดลองวัดแรงดันไฟฟ้าที่ออกจากการมือแปลงฟลายแบค

วัดแรงดันไฟฟ้าที่ออกจากการมือแปลงฟลายแบค เพื่อให้ทราบว่าแรงดันที่จ่ายให้ระหว่างเท่าที่ โลหะแกนกลางกับผิวนี้จะเท่าไร ซึ่งในวงจรได้ใช้แหล่งจ่ายไฟฟ้ากระแสตรง $12 V$ และได้ผลการทดลองดังแสดงในตารางที่ 4.2 และรูปที่ 4.7

ตารางที่ 4.2 ผลการทดลองวัดแรงดันไฟฟ้าที่ออกจากการมือแปลงฟลายแบค

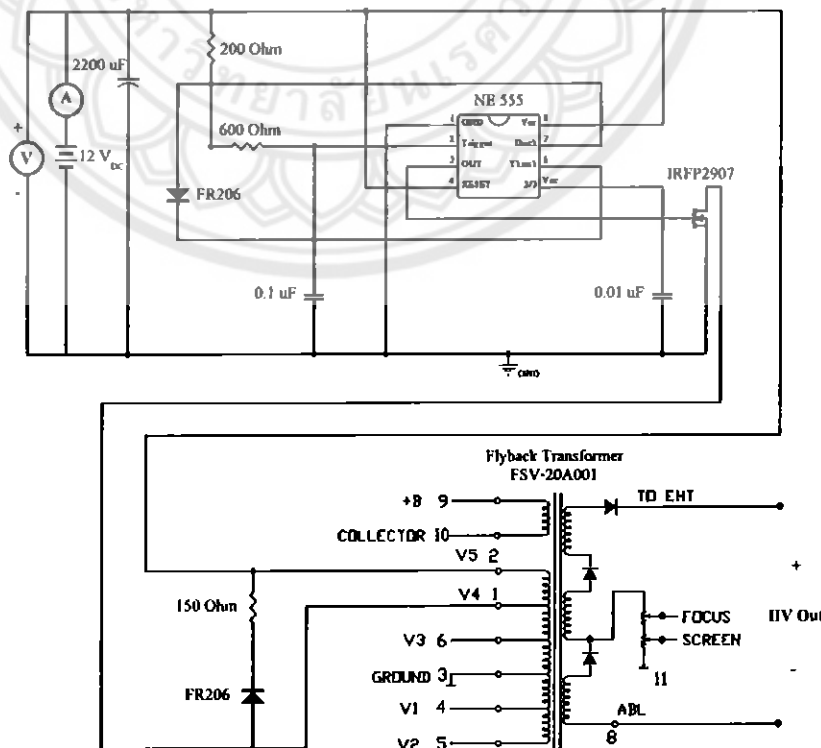
ผลการทดลองวัดแรงดันไฟฟ้าที่ออกจากการมือแปลงฟลายแบค		
ครั้งที่	แรงดันที่คร่อมตัว้านาน 1KΩ (โวลต์)	แรงดันออกจากการมือแปลงฟลายแบค (โวลต์)
1	0.318	9540.318
2	0.318	9540.318
3	0.318	9540.318



รูปที่ 4.7 แรงดันที่ตกคร่อมตัวค้านทาน 1 กิโลโ叟ห์ม

4.3 ทดลองวัดกำลังไฟฟ้าที่สูญเสียของเครื่องกำจัดฝุ่น

การทดลองวัดกำลังไฟฟ้าที่สูญเสียของเครื่องกำจัดฝุ่นนี้ เป็นการทดลองเพื่อให้ทราบว่า เครื่องกำจัดฝุ่นมีกำลังสูญเสียเท่าไร มีกระแสไฟ流ผ่านในวงจรเท่าไร ซึ่งการวัดกำลังไฟฟ้าที่สูญเสีย จะใช้การวัดแรงดันอินพุตของวงจร และกระแสไฟฟ้าที่ไหลในวงจร เพื่อนำมาคำนวณหา กำลังไฟฟ้าที่สูญเสียจาก $P = V \cdot I$



รูปที่ 4.8 ตำแหน่งการวัดแรงดันและกระแส

4.3.1 ผลการทดสอบวัดกำลังไฟฟ้าที่สูญเสียของเครื่องกำจัคผุ่น

ผลการทดสอบวัดกำลังไฟฟ้าที่สูญเสียของเครื่องกำจัคผุ่นนี้ คำนวณได้จากการวัดค่ากระแสและแรงดันอินพุตของวงจร โดยผลการวัดกระแส แรงดันอินพุต และการคำนวณหา กำลังไฟฟ้าที่สูญเสียของเครื่องกำจัคผุ่น ได้แสดงไว้ในตารางที่ 4.3

ตารางที่ 4.3 ผลการทดสอบวัดกำลังไฟฟ้าที่สูญเสียของเครื่องกำจัคผุ่น

ผลการทดสอบวัดกำลังไฟฟ้าที่สูญเสียของเครื่องกำจัคผุ่น			
ครั้งที่	แรงดันอินพุตของวงจร (โวลต์)	กระแสที่ใช้ในวงจร (แอมป์)	กำลังไฟฟ้าที่สูญเสียของวงจร (วัตต์)
1	12.02	1.07	12.861
2	12.01	1.07	12.851
3	12.02	1.07	12.861

หมายเหตุ ค่ากระแสที่วัด ได้เป็นค่ากระแสที่ใช้จริง ที่รวมพัดลมระบายความร้อนของฮีทซิ้งค์ และพัดลมระบายอากาศของกล่องใส่วงจร ดังนั้นค่ากำลังสูญเสียที่ได้ จะเป็นค่ากำลังไฟฟ้าสูญเสียจริงของเครื่องกำจัคผุ่น

4.4 ทดลองประสิทธิภาพของเครื่องกำจัดฝุ่น

การทดลองประสิทธิภาพของเครื่องกำจัดฝุ่นนี้ เป็นการทดลองที่สำคัญที่สุดเนื่องจากจะทำให้ทราบว่าเครื่องกำจัดฝุ่นทั้ง 3 ขนาด ที่ได้สร้างขึ้น ขนาดใดมีประสิทธิภาพมากที่สุด โดยใช้การชั่งกระดายกรองในการหาค่าประสิทธิภาพของเครื่องกำจัดฝุ่น



รูปที่ 4.9 โครงสร้างในการทดลอง

“1” คือ เตาเผาเชื้อเพลิง ใช้ในการเผาเชื้อเพลิงและควบคุมให้กวนลดห้ามบินที่มีทางออก 2 ทาง มีขนาดเดือนผ่าศูนย์กลางขนาด 20.32 เซนติเมตร สูง 1 เมตร และมีรูด้านบน 2 รู ซึ่งมีขนาดเดือนผ่าศูนย์กลาง 6.35 เซนติเมตร

“2” คือ ท่อถ่านเดี่ยวกวน ไปยังกระดายกรองโดยตรง ซึ่งปรินามกวนที่ได้จะแสดงถึงปรินามกวนก่อนเข้าเครื่องกำจัดฝุ่น

“3” คือ ทางออกของอากาศที่ผ่านจากเครื่องกำจัดฝุ่นไปยังกระดายกรอง ซึ่งปรินามกวนที่ได้จะแสดงถึงปรินามของกวนหลังจากผ่านเครื่องกำจัดฝุ่น

4.3.1 เครื่องมือและอุปกรณ์ที่ใช้ในการทดลอง

ในการทดลองประสิทธิภาพเครื่องกำจัดฝุ่นนี้ ผู้จัดทำได้ใช้เครื่องมือและอุปกรณ์ในการทดลองประสิทธิภาพดังตารางที่ 4.4

ตารางที่ 4.4 เครื่องมือและอุปกรณ์ที่ใช้ในการทดลอง

เครื่องมือและอุปกรณ์ที่ใช้ในการทดลอง		
ลำดับที่	รายการ	จำนวน
1	เตาเผาเชื้อเพลิง (มีปล่อง 2 ปล่อง ขนาดเส้นผ่าศูนย์กลาง 1.5 นิ้ว)	1 เตา
2	กระดาษกรอง (ขนาดครุภัณฑ์ 2.5 ไมล์รอน)	6 แผ่น
3	ตู้คุณภาพชีวิ	1 ตู้
4	เครื่องซั่งกระดาษกรอง (ทศนิยม 5 ตัวแทน)	1 เครื่อง
5	เครื่องคุณภาพอากาศ	1 เครื่อง

4.3.2 วิธีการทดลองประสิทธิภาพเครื่องกำจัดฝุ่น

1. ซั่งน้ำหนักของกระดาษกรองและบันทึกทึកค่าลงในตารางที่ 4.5
2. ติดตั้งชุดทดลองให้เรียบร้อย ดังแสดงในรูปที่ 4.9
3. นำกระดาษกรองไปคลอกขับฝุ่นและกวันที่ปล่องทางออกที่ไม่ได้ผ่านเครื่อง (ตำแหน่งหมายเลข “2” ในรูปที่ 4.9) และนำกระดาษกรองอีกแผ่นไปคลอกขับฝุ่นและกวันที่ปล่องทางออกของเครื่องกำจัดฝุ่น (ตำแหน่งหมายเลข “3” ในรูปที่ 4.9)
4. เผาเชื้อเพลิงในเตาเผาเชื้อเพลิงเพื่อให้เกิดควันเป็นระยะเวลาประมาณ 10 นาที
5. นำกระดาษกรองทั้ง 2 แผ่น ไปเข้าตู้คุณภาพชีวิเป็นเวลา 24 ชั่วโมง
6. นำกระดาษกรองที่ผ่านการคุณภาพชีวิแล้วไปทำการซั่งน้ำหนัก และบันทึกค่าลงในตารางที่ 4.6
7. คำนวณหาประสิทธิภาพของเครื่องกำจัดฝุ่น
8. ทำการทดลองตั้งแต่ขั้นตอนที่ 1-7 โดยเปลี่ยนขนาดของเครื่องกำจัดฝุ่น ซึ่งจะทำการทดลองทั้งหมด 3 ครั้ง (ท่อ 2 นิ้ว ท่อ 3 นิ้ว และท่อ 4 นิ้ว)

4.3.3 ผลการทดลองประสิทธิภาพเครื่องกำจัดฝุ่น

ผลการทดลองประสิทธิภาพของเครื่องกำจัดฝุ่นนั้น ค่าต่างๆที่ได้จากการทดลองได้แสดงไว้ในตารางที่ 4.5 - 4.8

ตารางที่ 4.5 ผลการซั่งกระดาษกรองก่อนทำการทดลอง

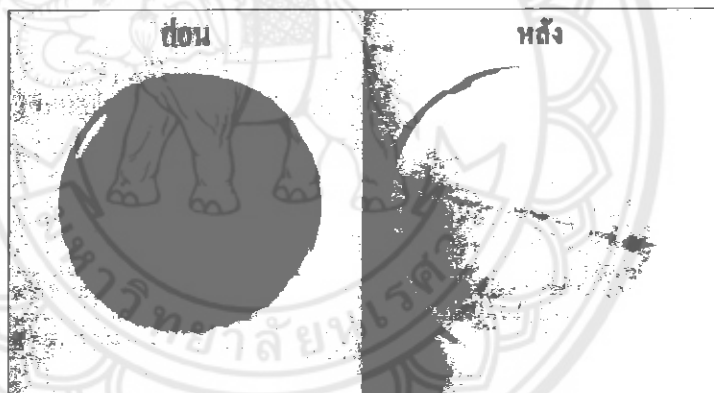
ผลการซั่งกระดาษกรองก่อนทำการทดลอง					
ตำแหน่งในการทดลอง		การซั่งน้ำหนัก			
ขนาดเครื่อง กำจัดฝุ่น	ก่อน-หลังออก เครื่องกำจัดฝุ่น	ครั้งที่ 1 (กรัม)	ครั้งที่ 2 (กรัม)	ครั้งที่ 3 (กรัม)	น้ำหนักเฉลี่ย (กรัม)
เล็ก (2 นิ้ว)	ก่อน	0.06869	0.06869	0.06870	0.06869
เล็ก (2 นิ้ว)	หลัง	0.06872	0.06875	0.06872	0.06873
กลาง (3 นิ้ว)	ก่อน	0.06875	0.06875	0.06877	0.06876
กลาง (3 นิ้ว)	หลัง	0.06865	0.06870	0.06867	0.06867
ใหญ่ (4 นิ้ว)	ก่อน	0.06867	0.06870	0.06870	0.06869
ใหญ่ (4 นิ้ว)	หลัง	0.06873	0.06871	0.06868	0.06871

ตารางที่ 4.6 ผลการซั่งกระดาษกรองหลังทำการทดลอง

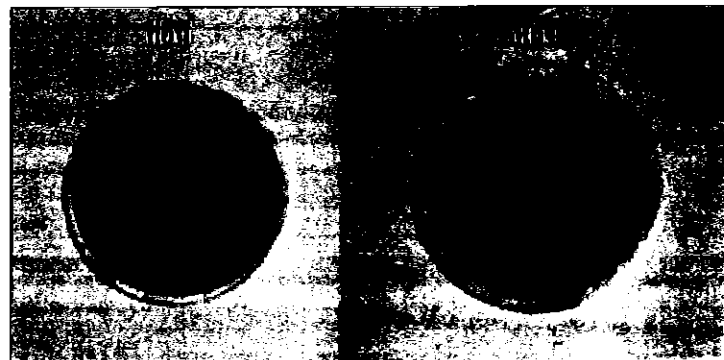
ผลการซั่งกระดาษกรองหลังทำการทดลอง					
ตำแหน่งในการทดลอง		การซั่งน้ำหนัก			
ขนาดเครื่อง กำจัดฝุ่น	ก่อน-หลังออก เครื่องกำจัดฝุ่น	ครั้งที่ 1 (กรัม)	ครั้งที่ 2 (กรัม)	ครั้งที่ 3 (กรัม)	น้ำหนักจริง (กรัม)
เล็ก (2 นิ้ว)	ก่อน	0.08135	0.08135	0.08142	0.08137
เล็ก (2 นิ้ว)	หลัง	0.06977	0.06975	0.06975	0.06976
กลาง (3 นิ้ว)	ก่อน	0.08260	0.08256	0.08256	0.08257
กลาง (3 นิ้ว)	หลัง	0.0705	0.07043	0.07052	0.07048
ใหญ่ (4 นิ้ว)	ก่อน	0.08178	0.08183	0.08175	0.08179
ใหญ่ (4 นิ้ว)	หลัง	0.07093	0.07096	0.07096	0.07695

ตารางที่ 4.7 น้ำหนักที่เปลี่ยนแปลงของกระดาษกรอง

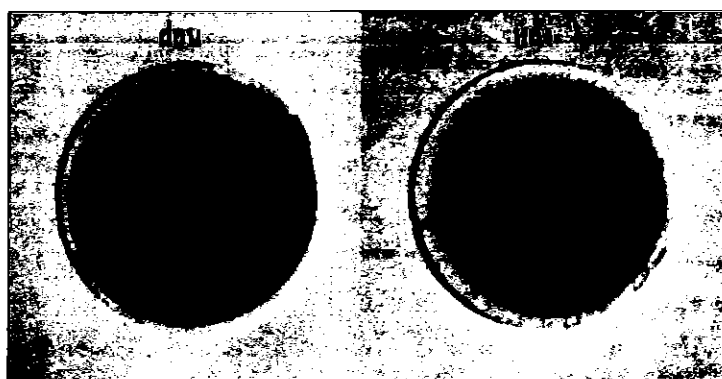
น้ำหนักที่เปลี่ยนแปลงของกระดาษกรอง				
ตำแหน่งในการทดลอง		น้ำหนัก	น้ำหนัก	ผลต่าง
ขนาดเครื่อง กำจัดฝุ่น	ก่อน-หลัง เครื่องกำจัดฝุ่น	ก่อนการทดลอง (กรัม)	หลังการทดลอง (กรัม)	(กรัม)
เล็ก (2 นิ้ว)	ก่อน	0.06869	0.08137	0.01268
เล็ก (2 นิ้ว)	หลัง	0.06873	0.06976	0.00103
กลาง (3 นิ้ว)	ก่อน	0.06876	0.08257	0.01381
กลาง (3 นิ้ว)	หลัง	0.06867	0.07048	0.00181
ใหญ่ (4 นิ้ว)	ก่อน	0.06869	0.08179	0.01310
ใหญ่ (4 นิ้ว)	หลัง	0.06871	0.07095	0.00224



รูปที่ 4.5 ผลการทดลองเครื่องกำจัดฝุ่นขนาดเล็ก (ท่อ 2 นิ้ว)



รูปที่ 4.6 ผลการทดลองเครื่องกำจัดฝุ่นขนาดกลาง (ท่อ 3 นิ้ว)



รูปที่ 4.8 ผลการทดลองเครื่องกำจัดฝุ่นขนาดใหญ่ (ห่อ 4 นิ้ว)

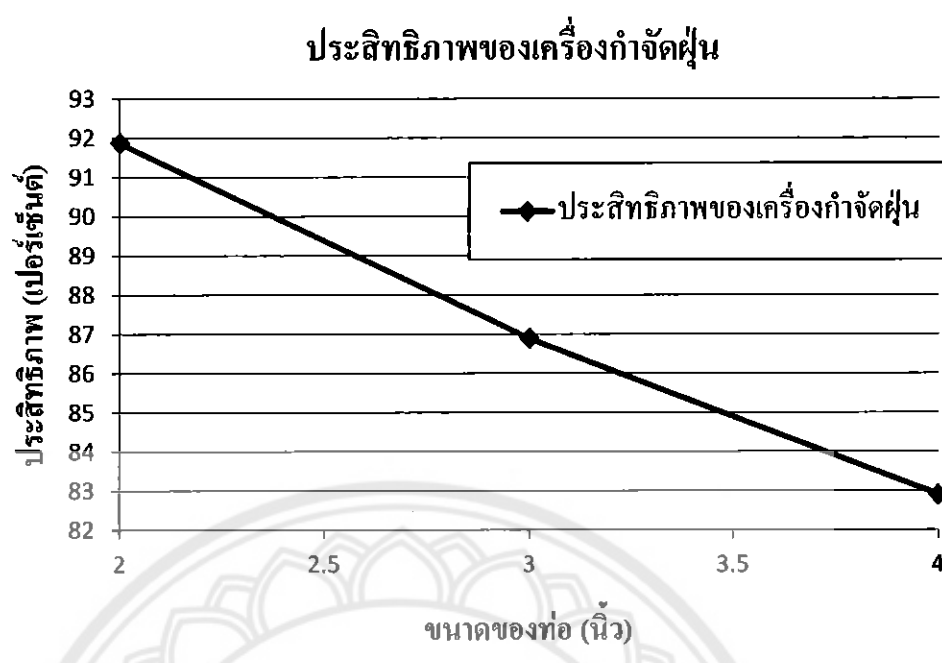
จากการทดลองจะทำให้ทราบค่า้น้ำหนักที่เปลี่ยนแปลงของระยะเวลากรอง ซึ่งสามารถคำนวณ
หาประสิทธิภาพของเครื่องกำจัดฝุ่นได้ ดังนี้

$$\% \eta = \frac{\Delta m_1 - \Delta m_2}{\Delta m_1} \times 100$$

โดย $\% \eta$ คือ เปอร์เซ็นต์ประสิทธิภาพของเครื่องกำจัดฝุ่น
 Δm_1 คือ น้ำหนักที่เปลี่ยนแปลงของระยะเวลากรองที่นำไปวัดปริมาณควันที่ไม่
 ผ่านเครื่องกำจัดฝุ่น
 Δm_2 คือ น้ำหนักที่เปลี่ยนแปลงของระยะเวลากรองที่นำไปวัดปริมาณควันที่
 ผ่านเครื่องกำจัดฝุ่น

ตารางที่ 4.8 ประสิทธิภาพเครื่องกำจัดฝุ่น

ขนาดเครื่องกำจัดฝุ่น	ผลต่างของน้ำหนักระยะเวลากรอง		ประสิทธิภาพ (เปอร์เซ็นต์)
	ก่อน	หลัง	
ขนาดเต็กล (ห่อ 2 นิ้ว)	0.01268	0.00103	91.877
ขนาดกลาง (ห่อ 3 นิ้ว)	0.01381	0.00181	86.894
ขนาดใหญ่ (ห่อ 4 นิ้ว)	0.01310	0.00224	82.901



รูปที่ 4.8 กราฟแสดงประสิทธิภาพเครื่องกำจัดฝุ่น

บทที่ 5

สรุปผลการทดลอง

5.1 สรุปผลการดำเนินงานโครงการ

จากโครงการเครื่องกำจัดฝุ่นสามารถหาข้อสรุปจากการดำเนินงานดังนี้

1. วงจรสร้างพัลส์เพื่อกวนคุณภาพกราฟฟิชท์ที่ออกแบบ จะสร้างพัลส์ที่มีความถี่ 18.337 KHz และมีค่า Duty Cycle 24.07%
2. แหล่งจ่ายแรงดันไฟฟ้ากระแสตรงแรงดันสูงที่สร้างขึ้นสามารถจ่ายไฟฟ้ากระแสตรงที่ระดับแรงดัน 9540.318 โวลต์
3. เครื่องกำจัดฝุ่นขนาดเล็ก (ห่อ 2 นิ้ว) มีประสิทธิภาพในการกำจัดฝุ่น 91.877%
4. เครื่องกำจัดฝุ่นขนาดกลาง (ห่อ 3 นิ้ว) มีประสิทธิภาพในการกำจัดฝุ่น 86.894%
5. เครื่องกำจัดฝุ่นขนาดใหญ่ (ห่อ 4 นิ้ว) มีประสิทธิภาพในการกำจัดฝุ่น 82.901%
6. เครื่องกำจัดฝุ่นที่มีประสิทธิภาพมากที่สุดคือ เครื่องกำจัดฝุ่นขนาดเล็ก (ห่อ 2 นิ้ว) และ เครื่องกำจัดฝุ่นที่มีประสิทธิภาพต่ำที่สุดคือ เครื่องกำจัดฝุ่นขนาดใหญ่ (ห่อ 4 นิ้ว)
7. ระยะห่างระหว่างแกนกลางกับแผ่นดักจับฝุ่นจะเปรียบผันกับประสิทธิภาพของเครื่องกำจัดฝุ่น เมื่อระยะห่างระหว่างแกนกลางกับแผ่นดักจับฝุ่นเพิ่มขึ้นจะทำให้ประสิทธิภาพของเครื่องกำจัดฝุ่นต่ำลง

5.2 ปัญหาและแนวทางการแก้ไข

จากการทำโครงการเครื่องกำจัดฝุ่นพบปัญหาและอุปสรรคต่างๆ ที่ทำให้การดำเนินงานมีความล่าช้า ดังนี้

1. ขาดความรู้ความเข้าใจในการออกแบบสร้างวงจรแหล่งจ่ายไฟฟ้าแรงดันสูง แก้ไขโดย การศึกษาถึงวิธีการสร้างแรงดันสูงด้วยวิธีต่างๆ
2. mosfet มีอุณหภูมิสูงขึ้นมากในระยะเวลาอันรวดเร็วและอาจก่อให้เกิดความเสียหายได้ แก้ไขปัญหาโดยการนำฮีทซิงก์และพัดลมระบายความร้อนมาใช้ในการระบายความร้อนออกจาก mosfet
3. ปัญหาในการออกแบบ การจัดหาอุปกรณ์ และการเลือกอุปกรณ์ในส่วนของโครงสร้าง เครื่องกำจัดฝุ่น แก้ไขโดยการทดลองเบื้องต้นและปรับปรุงแก้ไข

5.3 แนวทางในการพัฒนาโครงงาน

1. พัฒนาในการใช้วัสดุอุปกรณ์ที่ใช้ในการสร้างเครื่องกำจัดฝุ่น เพื่อให้มีความแข็งแรงและได้มาตรฐานมากยิ่งขึ้น
2. เพิ่มขนาดของท่อและแรงดันไฟฟ้าเพื่อให้สามารถกำจัดฝุ่นปริมาณมากที่ผ่านเข้ามาข้างเครื่องกำจัดฝุ่น
3. พัฒนาในด้านการบำรุงรักษา ให้เครื่องกำจัดฝุ่นนี้ไม่ต้องการการบำรุงรักยามากนัก



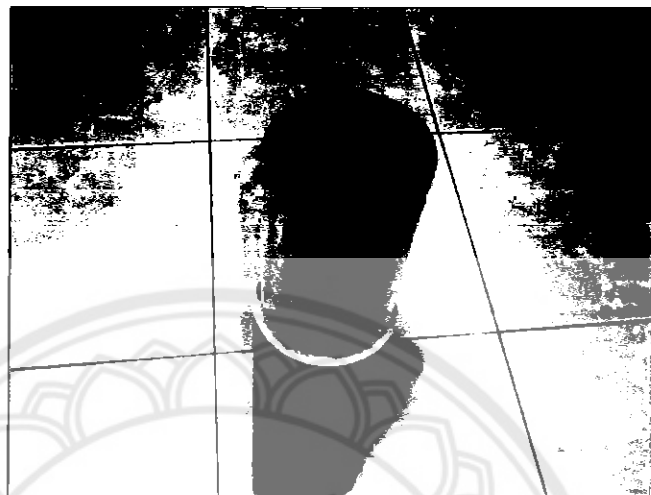
เอกสารอ้างอิง

- [1] ไฟฟ้าสถิต : http://www.rmutphysics.com/charud/scibook/electric1/Static_electricity.htm
- [2] รศ.ดร.ชานาญ ห่อเกียรติ. มหาวิทยาลัยเกษตรศาสตร์. การเกิดโคลน่าและการป้องกัน : http://psdp.eng.ku.ac.th/file_source/108-3.pdf
- [3] สนามไฟฟ้า :
<http://physicskruadd.wordpress.com/2012/03/12/สนามไฟฟ้า-electric-field.html>
- [4] หลักการออกแบบวงจรและการทำงานของ ไอซีบีเอช 555 :
<http://dtv.mcot.net/data/manual/book1155178943.pdf>
- [5] ดร.พานิช อินตีชะ. มหาวิทยาลัยเทคโนโลยีราชมงคลล้านนา. ผลพิมพางานอาชญากรรมทางการจัดการด้วยเทคนิคไฟฟ้าสถิต :
http://www.nstda.or.th/nac2011/presentation/ppt_nac2011_phoon.pdf



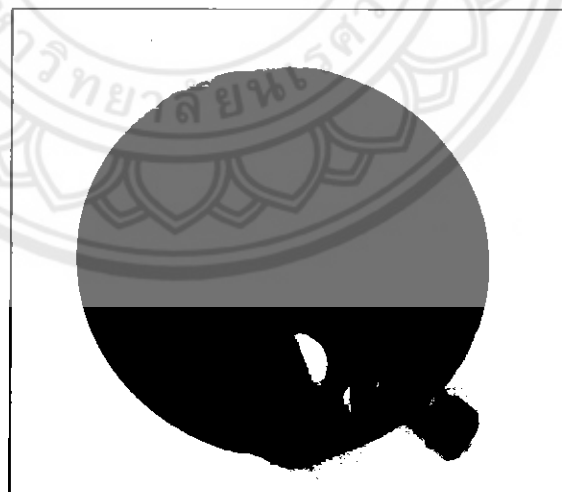
1. การติดตั้งเครื่องกำจัดฝุ่น

1. ติดตั้งแผ่นดักจับฝุ่นควยการม้วนแผ่นสังกะสีเข้าด้านในของห่อ ดังแสดงในรูป 1.1



รูปที่ 1.1 ติดตั้งแผ่นดักจับฝุ่น

2. ต่อ binding post เข้ากับแผ่นสังกะสี ดังแสดงในรูปที่ 1.2



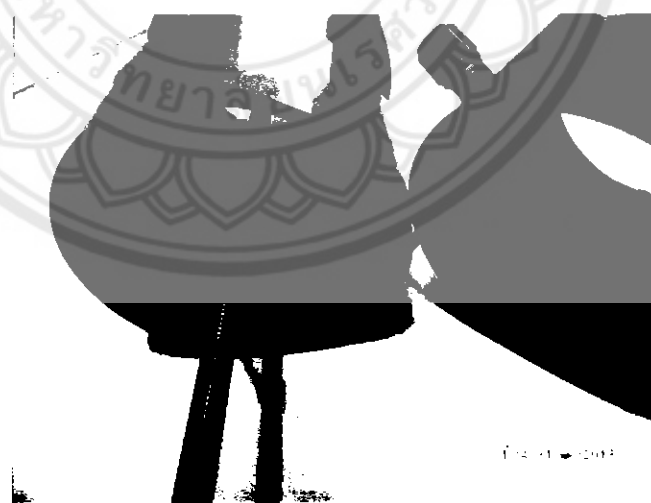
รูปที่ 1.2 ต่อ binding post เข้ากับแผ่นสังกะสี

3. ติดตั้งแท่งโลหะแกนกลางด้วยการใช้น็อตตัวเมียในการขีดแท่งโลหะแกนกลางติดกับแผ่นอะคริลิก ดังแสดงในรูปที่ 1.3



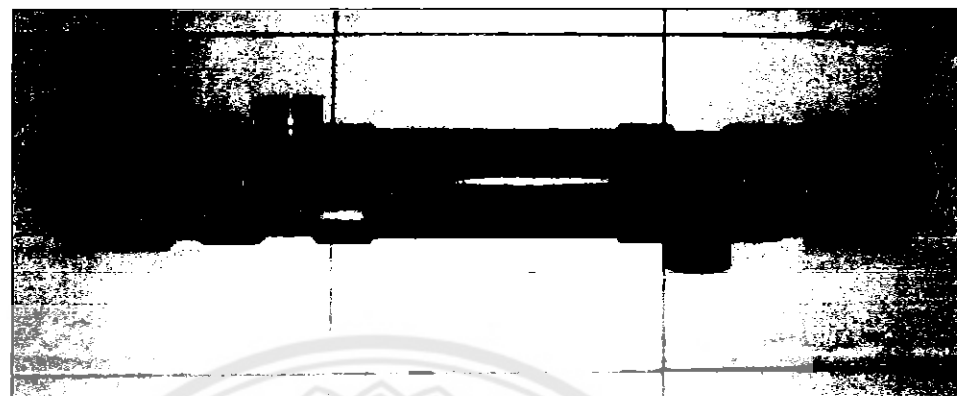
รูปที่ 1.3 ติดตั้งแท่งโลหะแกนกลาง

4. ต่อสายไฟจากแท่งโลหะแกนกลางไปยัง binding post ดังแสดงในรูปที่ 1.4



รูปที่ 1.4 ต่อสายไฟจากแท่งโลหะแกนกลางไปยัง binding post

5. ประกอบส่วนต่างๆเข้าด้วยกัน ดังแสดงในรูปที่ 1.5



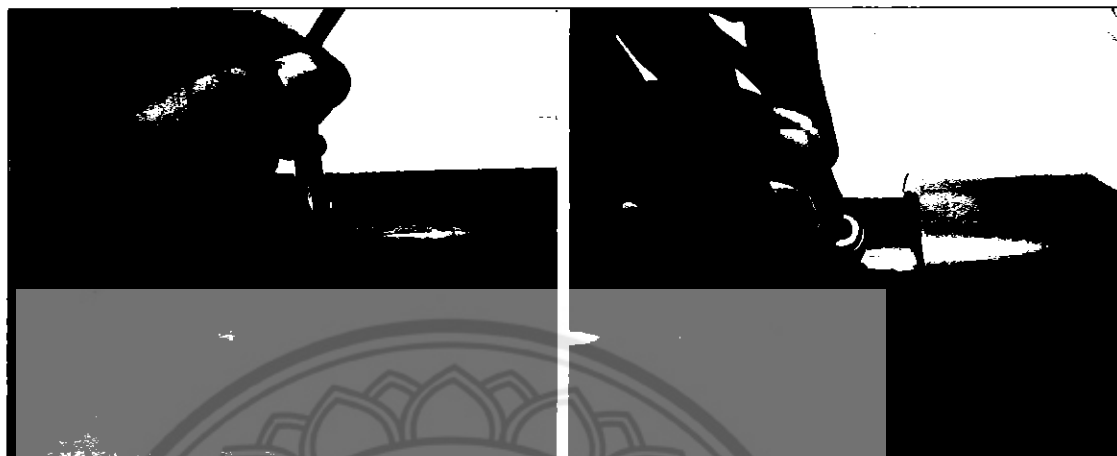
รูปที่ 1.5 ประกอบส่วนต่างๆเข้าด้วยกัน

6. ต่อห้องปล่องควันที่ต้องการทำขัดควันน้ำเข้ากับเครื่องกำจัดฝุ่นที่ค้านล่างของเครื่อง ซึ่งจะผ่านเครื่องกำจัดฝุ่นออกค้านบน ดังแสดงในรูปที่ 1.6



รูปที่ 1.6 เชื่อมต่อห้องปล่องควันเข้ากับเครื่องกำจัดฝุ่น

7. ต่อ banana plug เข้ากับ binding post แสดงในรูปที่ 1.7



รูปที่ 1.7 ต่อ banana plug เข้ากับ binding post

8. เสียบปลั๊กเข้ากับเตารับไฟฟ้า 220 V หรือเชื่อมต่อแหล่งจ่ายไฟฟ้ากระแสตรง 12V 2A
เข้ากับวงจรสร้างแรงดันไฟฟ้าแรงดันสูง (กรณีนี้แหล่งจ่ายไฟฟ้ากระแสตรง 12 V 2A เท่านั้น)



รูปที่ 1.8 เชื่อมต่อแหล่งจ่ายไฟฟ้ากระแสตรง

หมายเหตุ สวิตซ์ที่เกี่ยวจะควบคุมเฉพาะการเสียบเข้ากับไฟฟ้า 220 V ในกรณีที่จ่าย 12 V
จากแหล่งจ่ายไฟฟ้ากระแสตรง จะควบคุมการทำงานเปิดหรือปิดโดยควบคุมการจ่ายไฟ
ของแหล่งจ่ายไฟฟ้ากระแสตรง

2. การบำรุงรักษา

การบำรุงรักษานั้นเป็นสิ่งที่จำเป็นมาก เนื่องจากผุนจะไปติดที่แผ่นดักจับผุนและผุนนั้นจะไปเป็นจุดวนระหว่างแห่งโลหะแกนกลางกับแผ่นดักจับผุน ทำให้ประสิทธิภาพลดลงได้ ดังนั้นจึงต้องบำรุงรักษาดังต่อไปนี้

2.1 การบำรุงรักษาแบบง่าย

การบำรุงรักษาแบบง่ายเป็นการบำรุงรักษาเบื้องต้นเท่านั้น โดยการตรวจสอบเครื่องกำจัดผุนบริเวณที่มีแผ่นดักจับผุนม้วนอยู่ด้านใน ดังแสดงในรูปที่ 1.9 จากนั้นผุนที่มีขนาดใหญ่หรือผุนที่ไม่ติดฝังแน่นกับแผ่นดักจับผุนนั้นจะหล่นร่วงมาข้างที่เก็บสะสมผุน ซึ่งการบำรุงรักษาแบบนี้ควรทำทุกครั้งหลังจากใช้งานเครื่องกำจัดผุนแล้ว

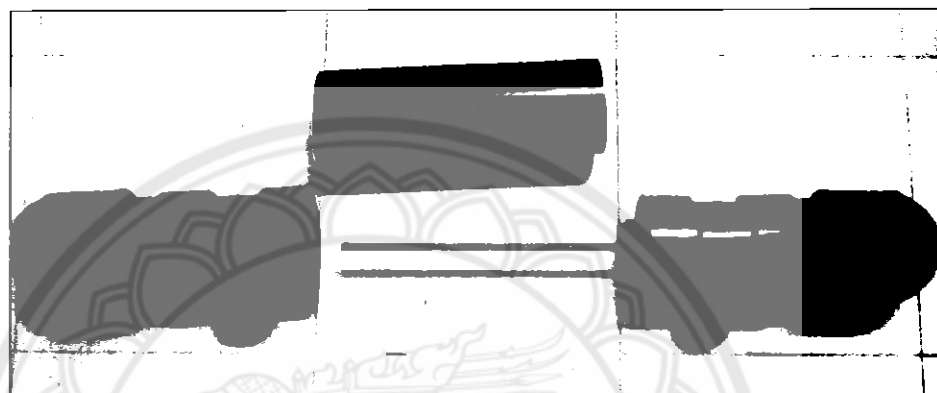


รูปที่ 1.9 การบำรุงรักษาแบบง่าย

2.2 การนำรุ่งรักษายาหลัก

การนำรุ่งรักษายาหลักนี้ เป็นการนำรุ่งรักษายาเพื่อให้เครื่องกำจัคผู้นسانารถกลับมาทำงานได้เต็มประสิทธิภาพ โดยมีขั้นตอนการนำรุ่งรักษายาดังนี้

1. แยกส่วนประกอบต่างๆออกจากกัน โดยจะแยกเป็น 3 ส่วน ดังแสดงในรูปที่ 1.10



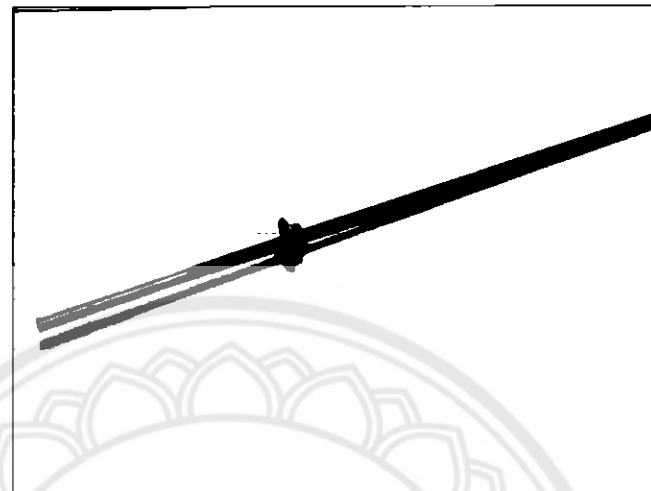
รูปที่ 1.10 แยกชิ้นส่วนเครื่องกำจัคผุ่น

2. นำแผ่นดักจับผุ่นออกจากห่อ โดยจะได้แผ่นดักจับผุ่นดังแสดงในรูปที่ 1.11



รูปที่ 1.11 นำแผ่นดักจับผุ่นออกจากห่อ

3. ถอดสายเชือมจากแท่งโลหะแกนกลางที่ต่อเข้ากับ binding post ออก และขันน็อตที่ยึดแท่งโลหะแกนกลางออกจากแผ่นอะคริลิก โดยจะได้แท่งโลหะแกนกลางดังแสดงในรูปที่ 1.12



รูปที่ 1.12 นำแท่งโลหะแกนกลางออกจากแผ่นอะคริลิก

4. ทำความสะอาดแผ่นดักจับผุ่นและแท่งโลหะแกนกลาง ดังแสดงในรูปที่ 1.13



รูปที่ 1.13 ทำความสะอาดแผ่นดักจับผุ่นและแท่งโลหะแกนกลาง

5. เชื้ดและเป่าแห่นดักจับผุ่นและแท่งโลหะแกนกลางให้แห้ง ดังแสดงในรูปที่ 1.14

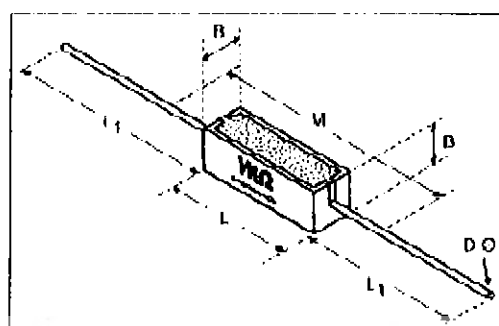


รูปที่ 1.14 เชื้ดและเป่าแห่นดักจับผุ่นและแท่งโลหะแกนกลางให้แห้ง

6. ติดตั้งเครื่องกำจัดผุ่นตามขั้นตอนการติดตั้ง



Power Wirewound Resistors Series: K-8/KM-8/KS-8

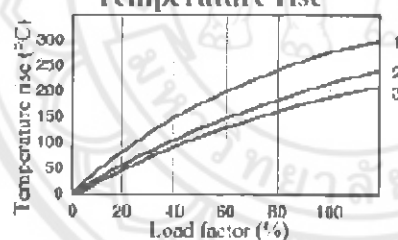


Description

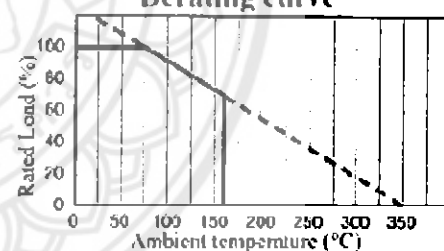
The power wirewound resistors are imbedded in a steatite case with a ceramic substance, producing a resistor with high electrical qualities and great mechanical strength. The resistor element is wound in a single layer on a glass fibre rod, and the connection to the terminals is all welded. The terminals are made of nickel silver, and are hot-tinned to secure excellent solderability and low heat transfer to the P.C.B.

Type	Rated Power P70 (W)	Resistance Range R	Dimensions (mm)				
			L	L ₁	B	D Ø	M
SW-KS-8	5	R1 - 10K	25	36	7	0,8	45
SW-KM-8	5	R1 - 8K2	22	36	8	0,8	42
7W-KM-8	7	R1 - 47R	22	36	10	0,8	42
5W-K-8	5	56R - 8K2	22	36	10	0,8	
10W-KM-8	10	R27 - 100R	36	36	10	0,8	
7W-K-8	7	120R - 18R	36	36	10	0,8	
12W-KM-8	12	1R - 180R	48	36	10	0,8	
10W-K-8	10	220R - 22K	48	36	10	0,8	

Temperature rise



Derating curve



- 1) = 7 - 10 - 12 W KM
- 2) = 5 W KS - 5 W KM - 7 W - 10 W
- 3) = 5 W

Tolerance:	± 5% or 10%
Range:	E - 12 series

Applications:

For consumer appliances and industrial equipment.

Data sheet

Carbon Film Leaded Resistor - RS Series

■Features

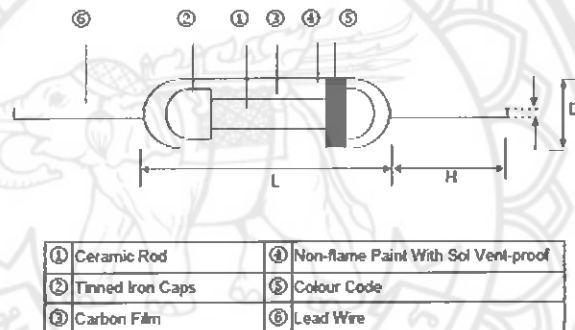
- The most economic industrial investment
- Standard tolerance: +/-5%
- Excellent long term stability
- Termination: Standard solder-plated copper lead



■Applications

- Automotive
- Telecommunication
- Medical Equipment

■Construction

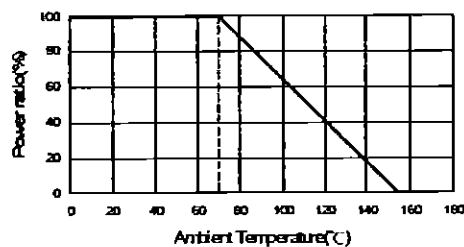


■Dimensions

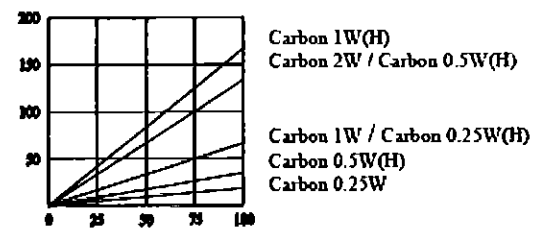
Unit: mm

Type	L	D	H	d	Weight (g) (1000pcs)
Carbon 0.25W	6.3±0.5	2.3±0.3	28±2.0	0.55±0.03	155
Carbon 0.5W	9.0±0.5	3.2±0.5	28±2.0	0.65±0.03	352
Carbon 1W	11.5±1.0	4.5±0.5	35±2.0	0.78±0.03	775
Carbon 2W	15.5±1.0	6.0±0.5	32±2.0	0.78±0.03	1042

■Derating Curve



■Hot-Spot Temperature



■Part Numbering

RS-	Carbon-	1R-	5%	0.25W
Series	Type	Resistance	Tolerance	Power rating @ 70°C
	Carbon	1R: 1Ω 10R: 10Ω 10K: 10KΩ 100K: 100KΩ	±5%	0.25W 0.5W 1W 2W

■Standard Electrical Specifications

Type	Item	Power Rating at 70°C	Operating Temp. Range	Max. Working Voltage	Max. Overload Voltage	Dielectric Withstanding Voltage	Resistance Range
							±5%
Carbon	0.25W			250V	500V	600V	1Ω - 10MΩ
Carbon	0.5W		-55 ~ +155°C	350V	700V	700V	1Ω - 10MΩ
Carbon	1W			450V	1000V	1000V	0.1Ω - 10MΩ
Carbon	2W			500V	1000V	1000V	1Ω - 10MΩ

■High Power Rating Electrical Specifications

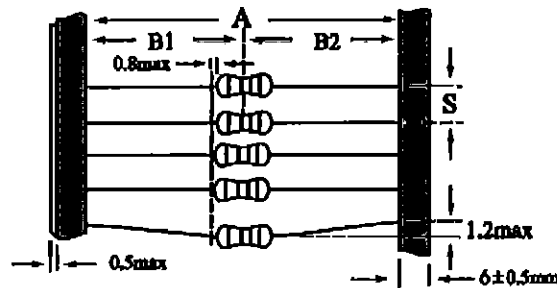
Type	Item	Power Rating at 70°C	Operating Temp. Range	Max. Working Voltage	Max. Overload Voltage	Dielectric Withstanding Voltage	Resistance Range
							±5%
Carbon	0.25W			200V	400V	400V	1Ω - 10MΩ
Carbon	0.5W		-55 ~ +155°C	300V	600V	500V	0.1Ω - 22MΩ
Carbon	1W			400V	800V	800V	1Ω - 10MΩ
Carbon	2W			500V	1000V	1000V	0.1Ω - 10MΩ

■ Resistor body colour: Standard power rating: Light Brown High power rating: Pink

Item	Requirement	Test Method
Short Time Overload	$\pm(0.75\%+0.05\Omega)$	JIS-C-5201-1 5.5 RCWV'2.5 or Max. overload voltage for 5 seconds
Insulation Resistance	> 1000MΩ	JIS-C-5201-1 5.6 Apply 100V _{dc} for 1 minute
Endurance	$\pm(3\%+0.05\Omega)$	JIS-C-5201-1 7.10 70±2°C, Max. working voltage for 1000 hrs with 1.5 hrs 'ON' and 0.5 hrs 'OFF'
Damp Heat with Load	$100K\Omega \pm 3\%$ $100K\Omega \pm 5\%$	JIS-C-5201-1 7.9 40±2°C, 90-95% R.H. Max. working voltage for 1000 hrs with 1.5 hrs 'ON' and 0.5 hrs 'OFF'
Solderability	90% min. Coverage	JIS-C-5201-1 6.5 245±5°C for 3 seconds
Dielectric Withstanding Voltage	By Type	JIS-C-5201-1 5.7 Apply Max. Overload Voltage for 1 minute
Temperature Coefficient	< 100KΩ +350ppm~500ppm 100KΩ~1MΩ -0ppm~700ppm > 1 MΩ -0ppm~1500ppm	Resistance value at room temperature and room Temperature+100°C
Pulse Overload	$\pm(1\%+0.05\Omega)$	JIS-C-5201-1 5.8 4 times RCWV for 10000 cycles with 1 second 'ON' and 25 seconds 'OFF'
Resistance To Solvent	No deterioration of coatings and markings	JIS-C-5201-1 6.9 Trichroethane for 1 min. with ultrasonic
Terminal Strength	Tensile: 2.5 kg	Direct Load for 10 seconds In the direction off the terminal leads

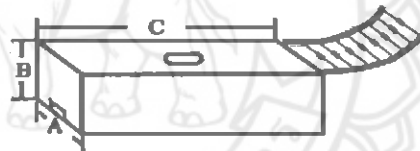
■ Rated Continuous Working Voltage(RCWV) = $\sqrt{P \cdot R}$

■ Storage Temperature: 25±3°C; Humidity < 80%RH

Packing Methods (Ammo)

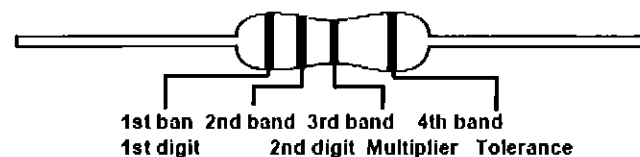
Unit: mm

Packaging Type	Packing Methods		
	A	B1-B2	S
Carbon 0.25W	52+1/-0	1.2	5
Carbon 0.5W	52+1/-0	1.2	5
Carbon 1W	52+1/-0	1.5	5
Carbon 2W	52+1/-0	1.5	10

Ammo Packing

Unit: mm

Packaging Type	Packing Methods			Ammo Packing			
	A	B1-B2	S	A	B	C	Qty
Carbon 0.25W	28+1/-0	1.0	5	80	105	264	5,000
Carbon 0.5W	52+1/-0	1.2	5	80	46	264	1,000
Carbon 1W	73+1/-0	1.5	5	103	82	265	1,000
Carbon 2W	73+1/-0	1.5	10	103	98	265	1,000



$\pm 5\%$	E-24	1.0	1.1	1.2	1.3	1.5	1.6	1.8	2.0	2.2	2.4	2.7	3.0	3.3	3.6	3.9	4.3	4.7	5.1	5.6	6.2	6.8	7.5	8.2	9.1
-----------	------	-----	-----	-----	-----	-----	-----	-----	-----	-----	-----	-----	-----	-----	-----	-----	-----	-----	-----	-----	-----	-----	-----	-----	-----

Cold Without	Digit	Multiplier	Tolerance	
Silver	-	10^{-2}	-	-
Gold	-	10^{-1}	$\pm 5.0\%$	J
Black	0	10^0	-	-
Brown	1	10^1	-	-
Red	2	10^2	-	-
Orange	3	10^3	-	-
Yellow	4	10^4	-	-
	5	10^5	-	-
Blue	6	10^6	-	-
Violet	7	10^7	-	-
Grey	8	10^8	-	-
White	9	10^9	-	-

**International
IR Rectifier**

AUTOMOTIVE MOSFET

PD-93906D

IRFP2907

HEXFET® Power MOSFET

Typical Applications

- Integrated Starter Alternator
- 42 Volts Automotive Electrical Systems

Benefits

- Advanced Process Technology
- Ultra Low On-Resistance
- Dynamic dv/dt Rating
- 175°C Operating Temperature
- Fast Switching
- Repetitive Avalanche Allowed up to Tjmax

Description

Specifically designed for Automotive applications, this Stripe Planar design of HEXFET® Power MOSFETs utilizes the latest processing techniques to achieve extremely low on-resistance per silicon area. Additional features of this HEXFET power MOSFET are a 175°C junction operating temperature, fast switching speed and improved repetitive avalanche rating. These benefits combine to make this design an extremely efficient and reliable device for use in Automotive applications and a wide variety of other applications.

Absolute Maximum Ratings

	G	D	S	
	Gate	Drain	Source	
$I_D @ T_C = 25^\circ\text{C}$	Parameter	Max.		Units
$I_D @ T_C = 25^\circ\text{C}$	Continuous Drain Current, $V_{GS} \geq 10\text{V}$	2090		
$I_D @ T_C = 100^\circ\text{C}$	Continuous Drain Current, $V_{GS} \geq 10\text{V}$	1460		A
$I_{DS(on)}$	Pulsed Drain Current	840		
$P_D @ T_C = 25^\circ\text{C}$	Power Dissipation	470		W
V_{GS}	Linear Derating Factor	3.1		$\text{W}/^\circ\text{C}$
E_{AS}	Gate-to-Source Voltage	± 20		V
I_{AR}	Single Pulse Avalanche Energy	1970		mJ
E_{AR}	Avalanche Current	See Fig.12a, 12b, 15, 16		A
dV/dt	Repetitive Avalanche Energy			mJ
T_J	Peak Diode Recovery dV/dt	5.0		V/ns
T_{Jmax}	Operating Junction and Storage Temperature Range	-55 to +175		$^\circ\text{C}$
	Soldering Temperature, for 10 seconds	300 (1.6mm from case)		
	Mounting Torque, 6-32 or M3 screw	10 lbf-in (1.1N·m)		

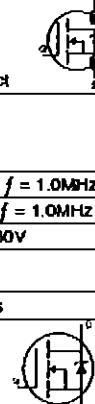
Thermal Resistance

	Parameter	Typ.	Max.	Units
R_{JC}	Junction-to-Case	—	0.32	
R_{CS}	Case-to-Sink, Flat, Greased Surface	0.24	—	*C/W
R_{JA}	Junction-to-Ambient	—	40	

www.irf.com

IRFP2907

International
I²R RectifierElectrical Characteristics @ $T_J = 25^\circ\text{C}$ (unless otherwise specified)

	Parameter	Min.	Typ.	Max.	Units	Conditions
V_{BRDSS}	Drain-to-Source Breakdown Voltage	75	—	—	V	$V_{GS} = 0V, I_D = 250\mu\text{A}$
$\Delta V_{BRDSS}/\Delta T_J$	Breakdown Voltage Temp. Coefficient	—	0.085	—	V/ $^\circ\text{C}$	Reference to $25^\circ\text{C}, I_D = 1\text{mA}$
$R_{DS(on)}$	Static Drain-to-Source On-Resistance	—	3.6	4.5	m Ω	$V_{GS} = 10V, I_D = 125\text{A}$ ①
$V_{GS(th)}$	Gate Threshold Voltage	2.0	—	4.0	V	$V_{DS} = 10V, I_D = 250\mu\text{A}$
G_F	Forward Transconductance	130	—	—	S	$V_{GS} = 25V, I_D = 125\text{A}$
$I_{DS(on)}$	Drain-to-Source Leakage Current	—	—	20	μA	$V_{GS} = 75V, V_{DS} = 0V$
		—	—	250	μA	$V_{GS} = 60V, V_{DS} = 0V, T_J = 150^\circ\text{C}$
$I_{GS(on)}$	Gate-to-Source Forward Leakage	—	—	200	nA	$V_{GS} = 20V$
	Gate-to-Source Reverse Leakage	—	—	-200	nA	$V_{GS} = -20V$
C_G	Total Gate Charge	—	410	620	nC	$I_D = 125\text{A}$
C_{GS}	Gate-to-Source Charge	—	92	140	nC	$V_{DS} = 60V$
C_{GD}	Gate-to-Drain ("Miller") Charge	—	140	210	nC	$V_{GS} = 10V$ ①
$t_{ON(on)}$	Turn-On Delay Time	—	23	—	ns	$V_{DD} = 58V$
t_r	Rise Time	—	190	—	ns	$I_D = 125\text{A}$
$t_{OFF(on)}$	Turn-Off Delay Time	—	130	—	ns	$R_D = 1.2\Omega$
t_f	Fall Time	—	130	—	ns	$V_{GS} = 10V$ ①
L_D	Internal Drain Inductance	—	5.0	—	nH	Between lead, 8mm (0.25in.) from package and center of die contact
L_S	Internal Source Inductance	—	13	—	nH	
C_{ISS}	Input Capacitance	—	13000	—	pF	$V_{GS} = 0V$
C_{OSS}	Output Capacitance	—	2100	—	pF	$V_{GS} = 25V$
C_{RSS}	Reverse Transfer Capacitance	—	500	—	pF	$f = 1.0\text{MHz}$, See Fig. 5
C_{GSS}	Output Capacitance	—	9780	—	pF	$V_{GS} = 0V, V_{DS} = 1.0V, f = 1.0\text{MHz}$
C_{GSS}	Output Capacitance	—	1360	—	pF	$V_{GS} = 0V, V_{DS} = 60V, f = 1.0\text{MHz}$
$C_{GSS, eff.}$	Effective Output Capacitance ①	—	2320	—	pF	$V_{GS} = 0V, V_{DS} = 0V \text{ to } 60V$

Source-Drain Ratings and Characteristics

	Parameter	Min.	Typ.	Max.	Units	Conditions
I_S	Continuous Source Current (Body Diode)	—	—	209A	A	MOSFET symbol showing the integral reverse p-n junction diode.
I_{SDV}	Pulsed Source Current (Body Diode) ①	—	—	840	A	
V_{SD}	Diode Forward Voltage	—	—	1.3	V	$T_J = 25^\circ\text{C}, I_S = 125\text{A}, V_{GS} = 0V$ ①
t_{rr}	Reverse Recovery Time	—	140	210	ns	$T_J = 25^\circ\text{C}, I_F = 125\text{A}$
D_{rr}	Reverse Recovery Charge	—	680	1320	nC	$dV/dt = 100\text{A}/\mu\text{s}$ ①
t_{on}	Forward Turn-On Time	—	—	—	—	Intrinsic turn-on time is negligible (turn-on is dominated by $L_D + L_S$)

Notes:

- ① Repetitive rating; pulse width limited by max. junction temperature. (See fig. 11).
- ② Starting $T_J = 25^\circ\text{C}$, $L = 0.25\text{mH}$
 $R_D = 25\Omega, I_{AB} = 125\text{A}$. (See Figure 12).
- ③ $I_{SD} \leq 125\text{A}$, $dV/dt \leq 260\text{A}/\mu\text{s}$, $V_{DD} \leq V_{BRDSS}$, $T_J \leq 175^\circ\text{C}$.
- ④ Pulse width $\leq 400\mu\text{s}$; duty cycle $\leq 2\%$.
- ⑤ $C_{GSS, eff.}$ is a fixed capacitance that gives the same charging time as C_{GSS} while V_{DS} is rising from 0 to 80% $V_{DS(on)}$.
- ⑥ Calculated continuous current based on maximum allowable junction temperature. Package limitation current is 90A.
- ⑦ Limited by T_{Jmax} , see Fig. 12a, 12b, 15, 16 for typical repetitive avalanche performance.

International
I²R Rectifier

IRFP2907

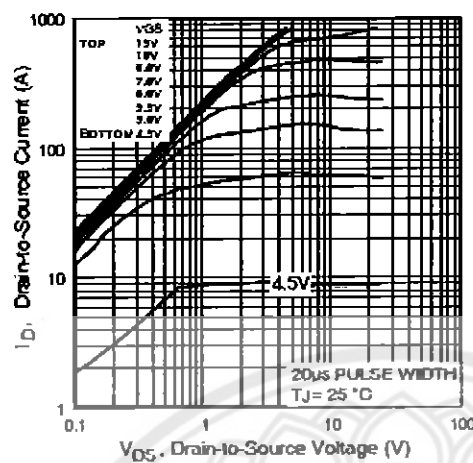


Fig 1. Typical Output Characteristics

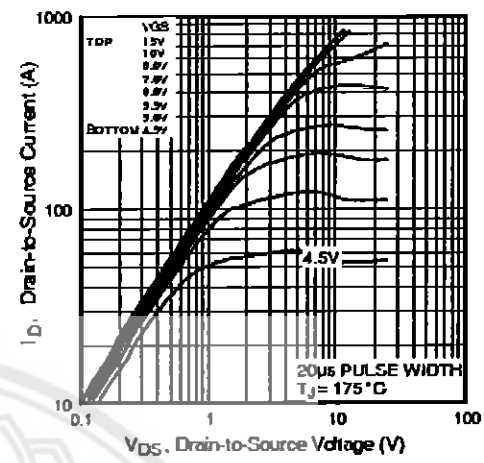


Fig 2. Typical Output Characteristics

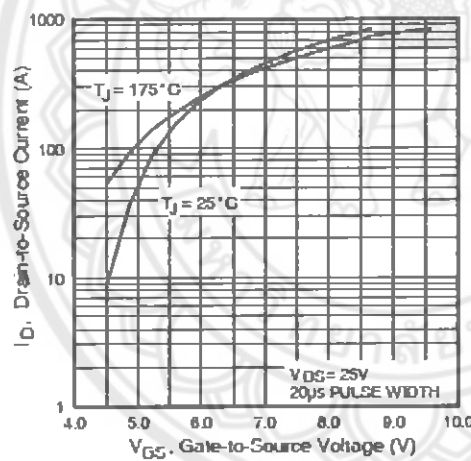


Fig 3. Typical Transfer Characteristics

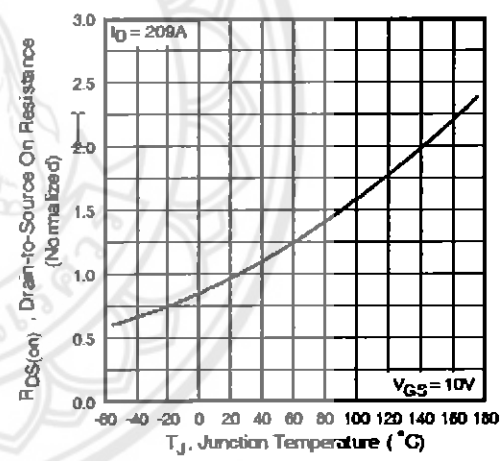


Fig 4. Normalized On-Resistance
Vs. Temperature

IRFP2907

International
I²R Rectifier

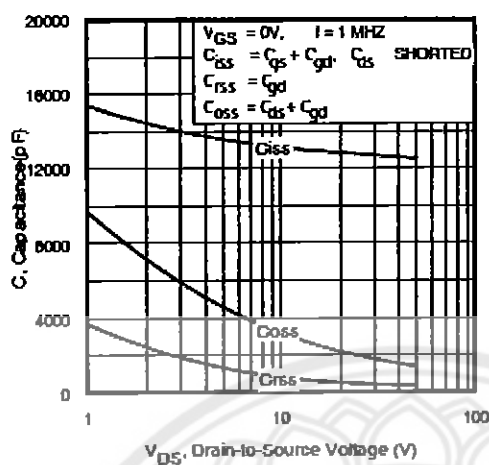


Fig 5. Typical Capacitance Vs.
Drain-to-Source Voltage

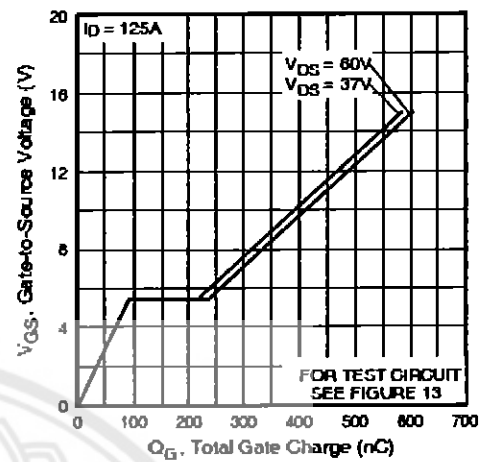


Fig 6. Typical Gate Charge Vs.
Gate-to-Source Voltage

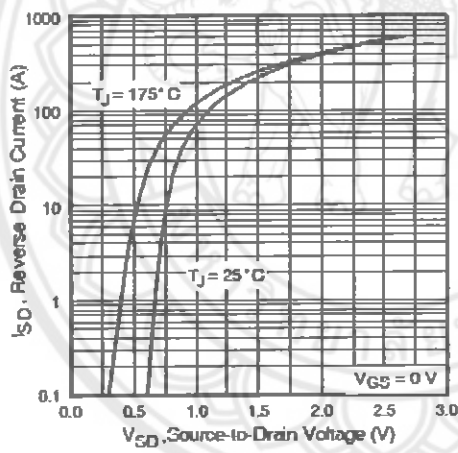


Fig 7. Typical Source-Drain Diode
Forward Voltage

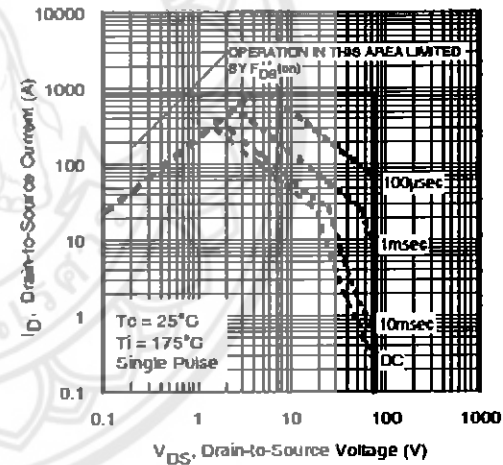


Fig 8. Maximum Safe Operating Area

International
I²R Rectifier

IRFP2907

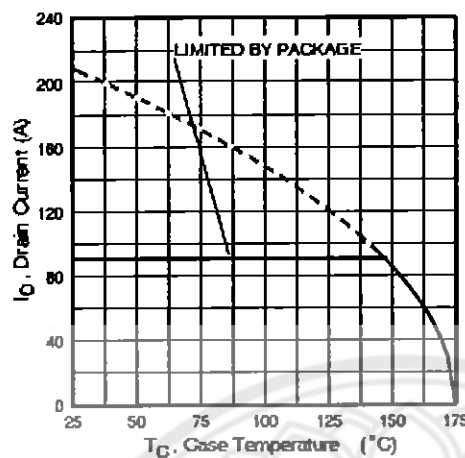


Fig. 9. Maximum Drain Current Vs.
Case Temperature

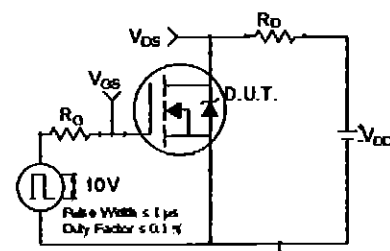


Fig 10a. Switching Time Test Circuit

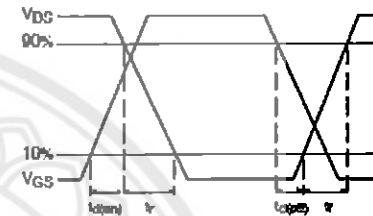


Fig 10b. Switching Time Waveforms

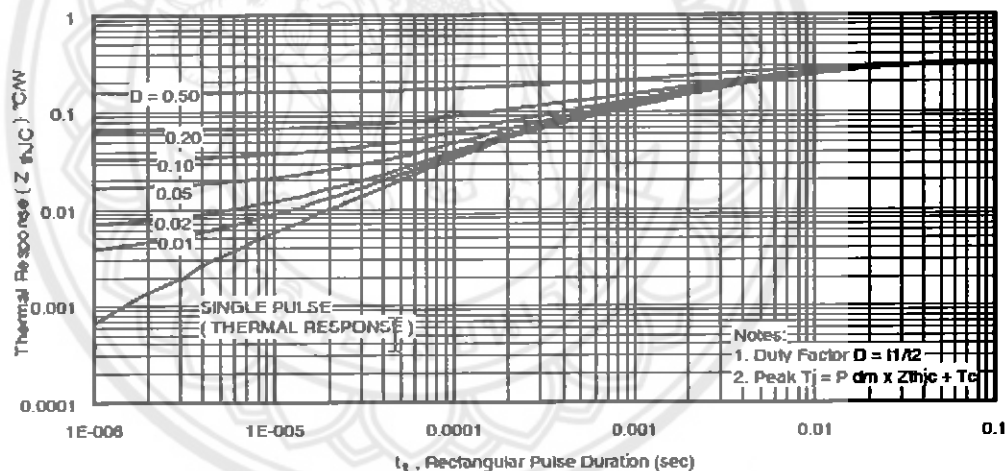


Fig 11. Maximum Effective Transient Thermal Impedance, Junction-to-Case

IRFP2907

International
I²R Rectifier

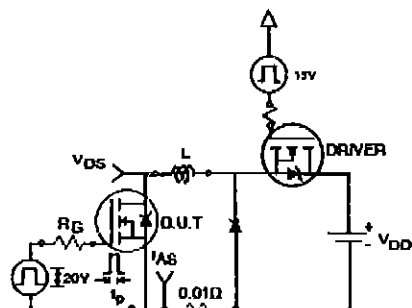


Fig 12a. Unclamped Inductive Test Circuit

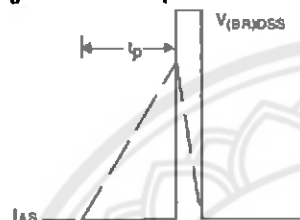


Fig 12b. Unclamped Inductive Waveforms

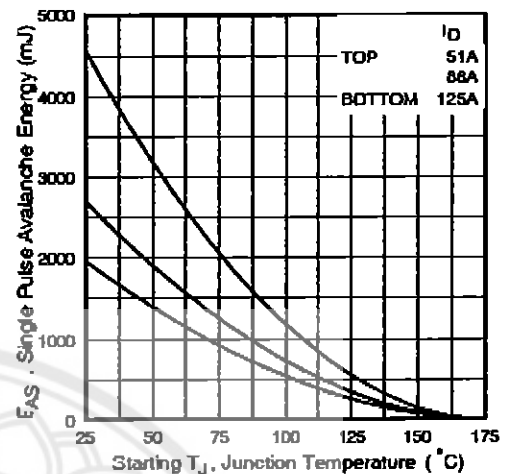


Fig 12c. Maximum Avalanche Energy
Vs. Drain Current

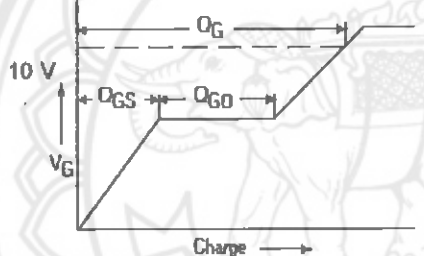


Fig 13a. Basic Gate Charge Waveform

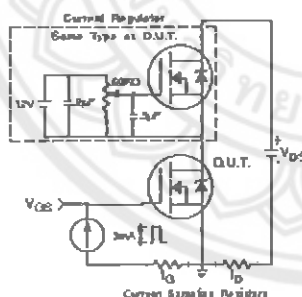


Fig 13b. Gate Charge Test Circuit

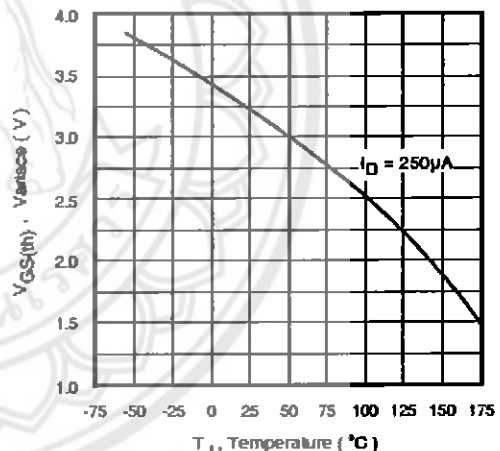


Fig 14. Threshold Voltage Vs. Temperature
www.irf.com

International
I^{OR}R Rectifier

IRFP2907

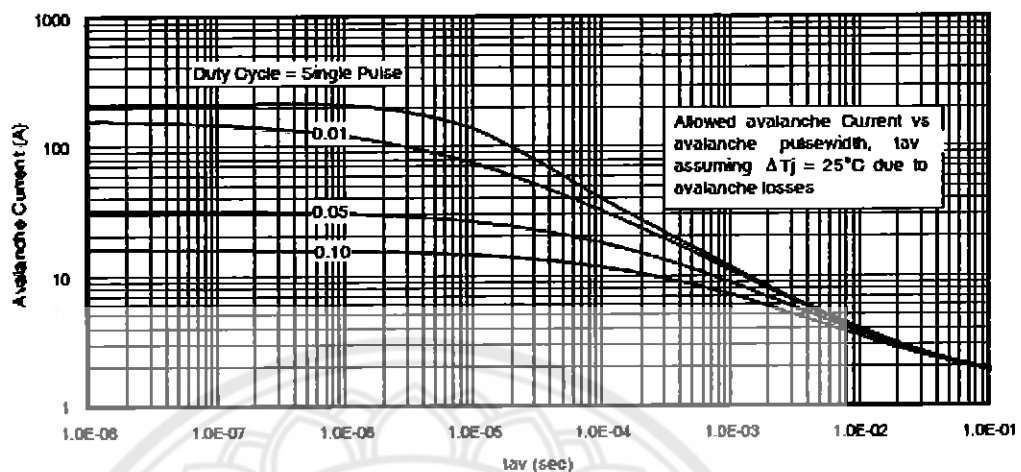


Fig 15. Typical Avalanche Current Vs. Pulsewidth

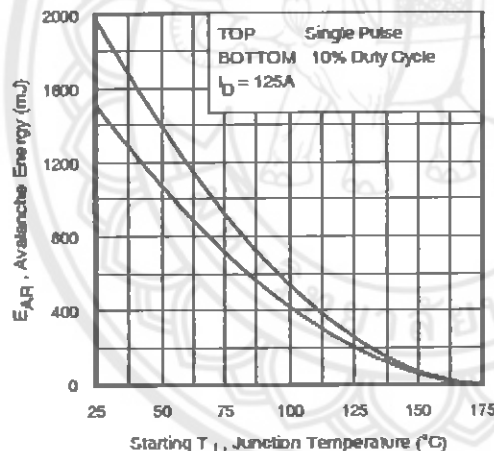


Fig 16. Maximum Avalanche Energy
Vs. Temperature

www.irf.com

Notes on Repetitive Avalanche Curves , Figures 15, 16:
(For further info, see AN-1005 at www.irf.com)

1. Avalanche failures assumption:
Purely a thermal phenomenon and failure occurs at a temperature far in excess of T_{jmax} . This is validated for every part type.
2. Safe operation in Avalanche is allowed as long as T_{jmax} is not exceeded.
3. Equation below based on circuit and waveforms shown in Figures 12a, 12b.
4. $P_D(\text{ave})$ = Average power dissipation per single avalanche pulse.
5. BV = Rated breakdown voltage (1.3 factor accounts for voltage increase during avalanche).
6. I_{av} = Allowable avalanche current.
7. ΔT = Allowable rise in junction temperature, not to exceed T_{jmax} (assumed as 25°C in Figure 15, 16).
8. t_{av} = Average time in avalanche.
9. D = Duty cycle in avalanche = t_{av}/T
10. $Z_{th(jc)}(D, I_{av})$ = Transient thermal resistance, see figure 11)

$$P_D(\text{ave}) = 1/2 (1.3 \cdot BV \cdot I_{av}) = \Delta T / Z_{th(jc)}$$

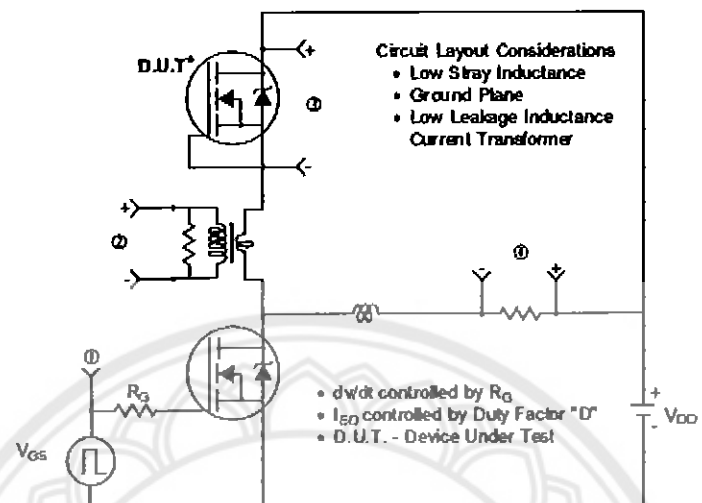
$$I_{av} = 2\Delta T / [1.3 \cdot BV \cdot Z_{th}]$$

$$E_{AB(\text{ave})} = P_D(\text{ave}) \cdot t_{av}$$

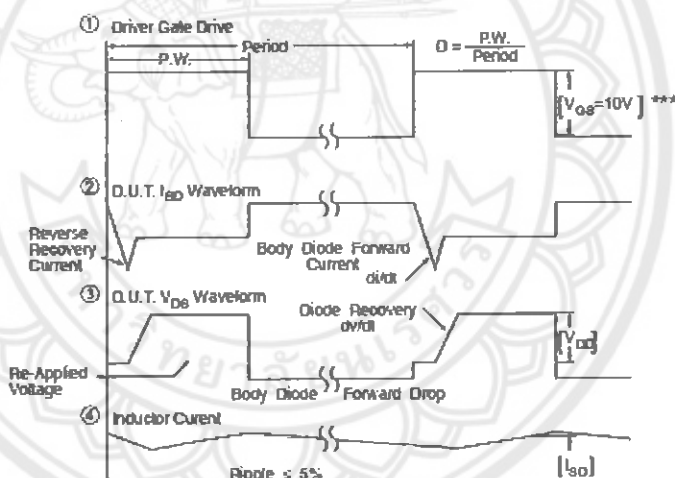
IRFP2907

International
I²R Rectifier

Peak Diode Recovery dv/dt Test Circuit



* Reverse Polarity of D.U.T for P-Channel



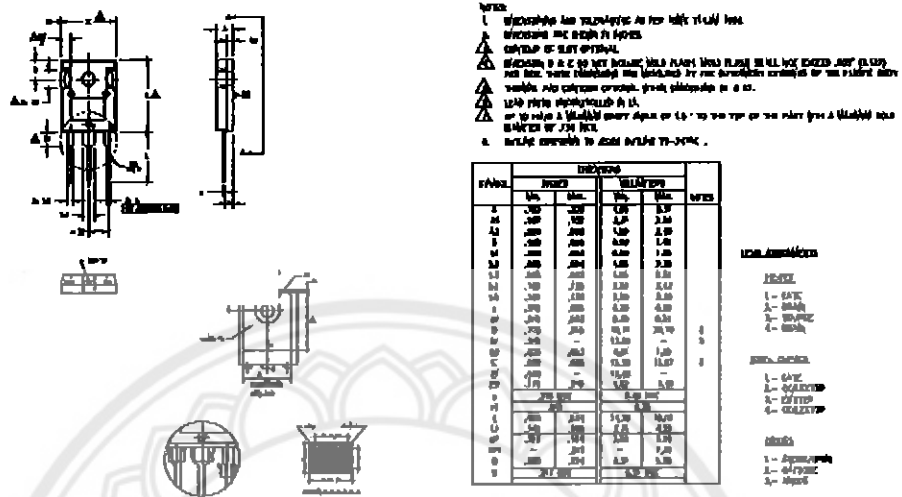
*** V_{GS} = 5.0V for Logic Level and 3V Drive Devices

Fig 17. For N-channel HEXFET® power MOSFETs

www.irf.com

**International
I²R Rectifier**
TO-247AC Package Outline
Dimensions are shown in millimeters (inches)

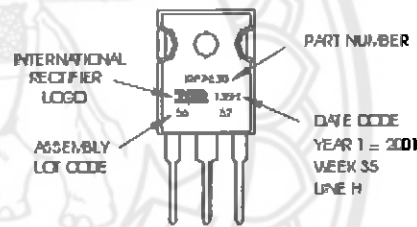
IRFP2907



TO-247AC Part Marking Information

**EXAMPLE: THIS IS AN IRFPE30
WITH ASSEMBLY
LOT CODE 5657
ASSEMBLED ON 04/25/2001
IN THE ASSEMBLY LINE #1**

Note P in assembly line position
indicates lead-free



TO-247AC package is not recommended for Surface Mount Application.

Note: For the most current drawing please refer to IRL website at <http://www.irf.com/package/>

Data and specifications subject to change without notice.
This product has been designed and qualified for the Automotive[Q101] market.
Qualification Standards can be found on IR's Web site.

IR WORLD HEADQUARTERS: 101N Sepulveda Blvd, El Segundo, California 90245, USA Tel: (310) 252-7105

TAC Fax: (310) 252-7903

www.id.com

can be found on IR's Web site.
**International
IR Rectifier**

Timer**NE/SA/SE555/SE555C****DESCRIPTION**

The 555 monolithic timing circuit is a highly stable controller capable of producing accurate time delays, or oscillation. In the time delay mode of operation, the time is precisely controlled by one external resistor and capacitor. For a stable operation as an oscillator, the free running frequency and the duty cycle are both accurately controlled with two external resistors and one capacitor. The circuit may be triggered and reset on falling waveforms, and the output structure can source or sink up to 200mA.

FEATURES

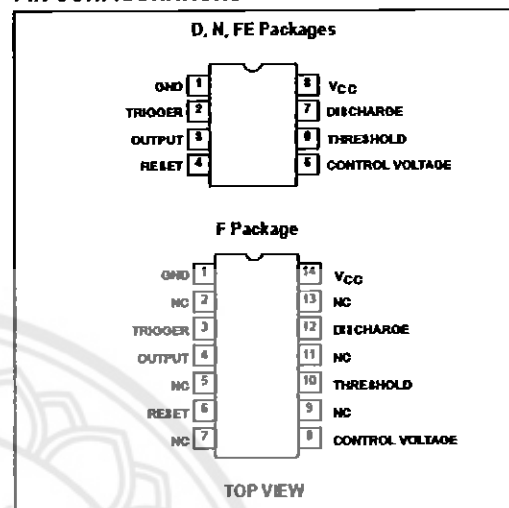
- Turn-off time less than 2μs
- Max. operating frequency greater than 500kHz
- Timing from microseconds to hours
- Operates in both astable and monostable modes
- High output current
- Adjustable duty cycle
- TTL compatible
- Temperature stability of 0.005% per °C

APPLICATIONS

- Precision timing
- Pulse generation
- Sequential timing
- Time delay generation
- Pulse width modulation

ORDERING INFORMATION

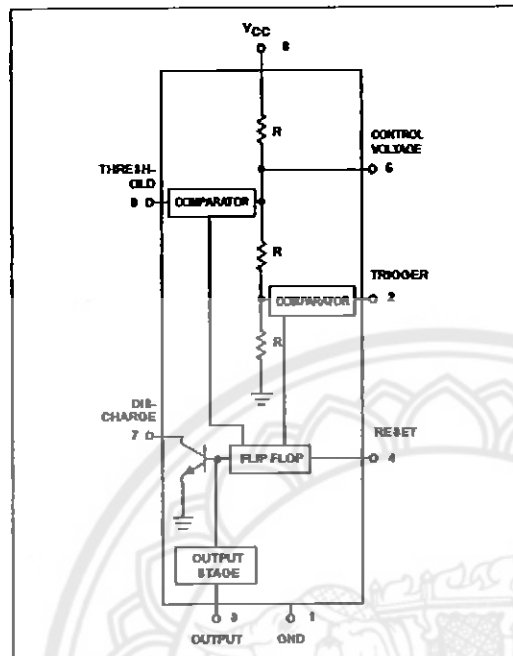
DESCRIPTION	TEMPERATURE RANGE	ORDER CODE	DWG #
8-Pin Plastic Small Outline (SO) Package	0 to +70°C	NE555D	0174C
8-Pin Plastic Dual In-Line Package (DIP)	0 to +70°C	NE555N	0404B
8-Pin Plastic Dual In-Line Package (DIP)	-40°C to +85°C	SA555N	0404B
8-Pin Plastic Small Outline (SO) Package	-40°C to +85°C	SA555D	0174C
8-Pin Hermetic Ceramic Dual In-Line Package (CERDIP)	-55°C to +125°C	SE555CFE	
8-Pin Plastic Dual In-Line Package (DIP)	-55°C to +125°C	SE555CN	0404B
14-Pin Plastic Dual In-Line Package (DIP)	-55°C to +125°C	SE555N	0405B
8-Pin Hermetic Cerdip	-55°C to +125°C	SE556FE	
14-Pin Ceramic Dual In-Line Package (CERDIP)	0 to +70°C	NE555F	0581B
14-Pin Ceramic Dual In-Line Package (CERDIP)	-55°C to +125°C	SE555F	0581B
14-Pin Ceramic Dual In-Line Package (CERDIP)	-55°C to +125°C	SE555CF	0581B

PIN CONFIGURATIONS

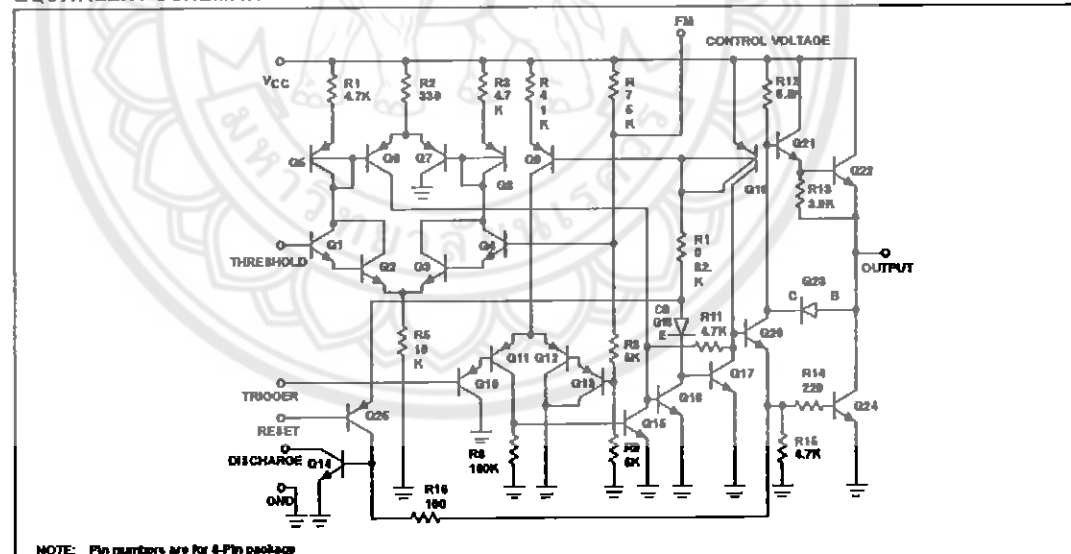
Timer

NE/SA/SE555/SE555C

BLOCK DIAGRAM



EQUIVALENT SCHEMATIC



Timer

NE/SA/SE555/SE555C

ABSOLUTE MAXIMUM RATINGS

SYMBOL	PARAMETER	RATING	UNIT
V_{CC}	Supply voltage SE555	+18	V
	NE555, SE555C, SA555	+16	V
P_D	Maximum allowable power dissipation ¹	600	mW
T_A	Operating ambient temperature range NE555 SA555 SE555, SE555C	0 to +70 -40 to +85 -55 to +125	°C
T_{TRG}	Storage temperature range	-65 to +150	°C
T_{SOLD}	Lead soldering temperature (10sec max)	+300	°C

NOTES:

1. The junction temperature must be kept below 125°C for the D package and below 150°C for the FE, N and F packages. At ambient temperatures above 25°C, where this limit would be derated by the following factors:
 D package 180°C/W
 FE package 150°C/W
 N package 100°C/W
 F package 105°C/W



Timer

NE/SA/SE555/SE555C

DC AND AC ELECTRICAL CHARACTERISTICS
 $T_A = 25^\circ\text{C}$, $V_{CC} = +5\text{V}$ to $+15\text{V}$ unless otherwise specified.

SYMBOL	PARAMETER	TEST CONDITIONS	SE555			NE555/SE555C			UNIT	
			Min	Typ	Max	Min	Typ	Max		
V_{CC}	Supply voltage		4.5		18	4.5		18	V	
I_{CC}	Supply current (low state) ¹	$V_{CC}=5\text{V}$, $R_L=\infty$ $V_{CC}=15\text{V}$, $R_L=\infty$	3 10	5 12		3 10	6 15		mA mA	
t_u $\Delta t_u/\Delta T$ $\Delta t_u/\Delta V_B$	Timing error (monostable) Initial accuracy ² Drift with temperature Drift with supply voltage	$R_A=2\text{k}\Omega$ to $100\text{k}\Omega$ $C=0.1\mu\text{F}$		0.6 30 0.05	2.0 100 0.2		1.0 60 0.1	3.0 150 0.5	% ppm/ $^\circ\text{C}$ %/V	
t_A $\Delta t_u/\Delta T$ $\Delta t_u/\Delta V_B$	Timing error (astable) Initial accuracy ² Drift with temperature Drift with supply voltage	$R_A, R_B=1\text{k}\Omega$ to $100\text{k}\Omega$ $C=0.1\mu\text{F}$ $V_{CC}=15\text{V}$		4 0.15	6 0.8		5 0.3	13 1 500 1	% ppm/ $^\circ\text{C}$ %/V	
V_C	Control voltage level	$V_{CC}=15\text{V}$ $V_{CC}=5\text{V}$	9.6 2.0	10.0 3.33	10.4 3.8	9.0 2.6	10.0 3.33	11.0 4.0	V V	
V_{TH}	Threshold voltage	$V_{CC}=15\text{V}$ $V_{CC}=5\text{V}$	9.4 2.7	10.0 3.33	10.6 4.0	8.8 2.4	10.0 3.33	11.2 4.2	V	
I_{TH}	Threshold current ³				0.1	0.25	0.1	0.25	μA	
V_{TRIG}	Trigger voltage	$V_{CC}=15\text{V}$ $V_{CC}=5\text{V}$	4.8 1.45	5.0 1.87	5.2 1.9	4.5 1.1	5.0 1.87	5.6 2.2	V	
I_{TRIG}	Trigger current	$V_{TRIG}=0\text{V}$			0.5	0.9		0.5	2.0	μA
V_{RESET}	Reset voltage ⁴	$V_{CC}=15\text{V}$, $V_{TH}=10.5\text{V}$	0.3		1.0	0.3		1.0	V	
I_{RESET}	Reset current	$V_{RESET}=0.4\text{V}$		0.1	0.4		0.1	0.4	mA	
	Reset current	$V_{RESET}=0\text{V}$		0.4	1.0		0.4	1.5	mA	
V_{OL}	Output voltage (low)	$V_{CC}=15\text{V}$ $I_{SINK}=10\text{mA}$ $I_{SINK}=50\text{mA}$ $I_{SINK}=100\text{mA}$ $I_{SINK}=200\text{mA}$ $V_{CC}=5\text{V}$ $I_{SINK}=8\text{mA}$ $I_{SINK}=5\text{mA}$		0.1 0.4 2.0 2.5 0.1 0.05	0.15 0.5 2.2 2.5 0.25 0.2		0.1 0.4 2.0 2.5 0.3 0.25	0.25 0.75 2.5 2.5 0.4 0.35	V V V V V V	
V_{OH}	Output voltage (high)	$V_{CC}=15\text{V}$ $I_{SOURCE}=200\text{mA}$ $I_{SOURCE}=100\text{mA}$ $V_{CC}=5\text{V}$ $I_{SOURCE}=100\text{mA}$	13.0 3.0	12.5 3.3		12.75 2.75	12.5 3.3		V V	
t_{OFF}	Turn-off time ⁵	$V_{RESET}=V_{CC}$		0.5	2.0		0.5	2.0	μs	
t_R	Rise time of output			100	200		100	300	ns	
t_f	Fall time of output			100	200		100	300	ns	
	Discharge leakage current			20	100		20	100	nA	

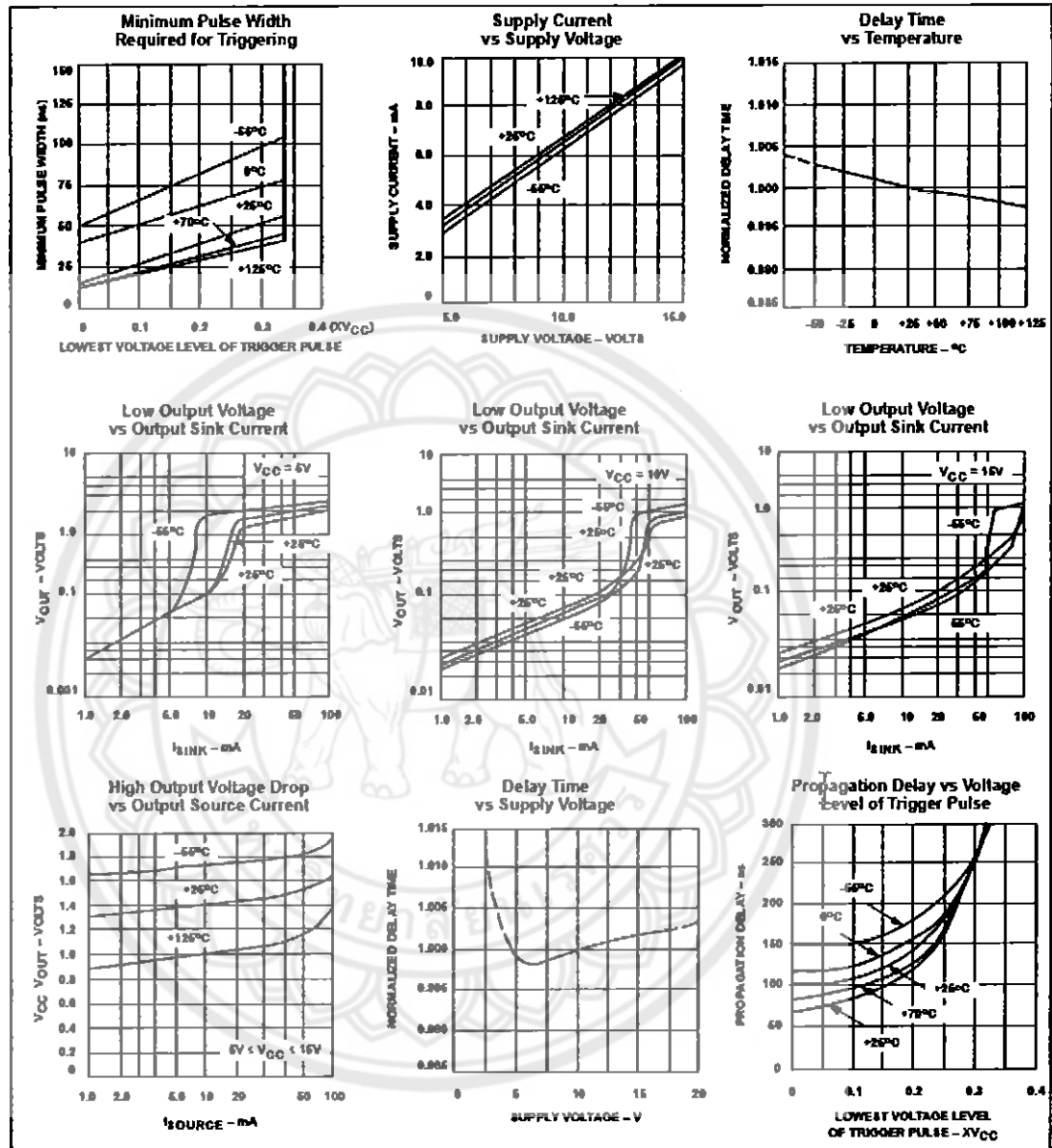
NOTES:

1. Supply current when output high typically 1mA less.
2. Tested at $V_{OC}=5\text{V}$ and $V_{CC}=15\text{V}$.
3. This will determine the max value of R_A+R_B , for 15V operation, the max total $R=10\text{M}\Omega$, and for 5V operation, the max. total $R=3.4\text{M}\Omega$.
4. Specified with trigger input high.
5. Time measured from a positive going input pulse from 0 to $0.8 \times V_{CC}$ into the threshold to the drop from high to low of the output. Trigger is tied to threshold.

Timer

NE/SA/SE555/SE555C

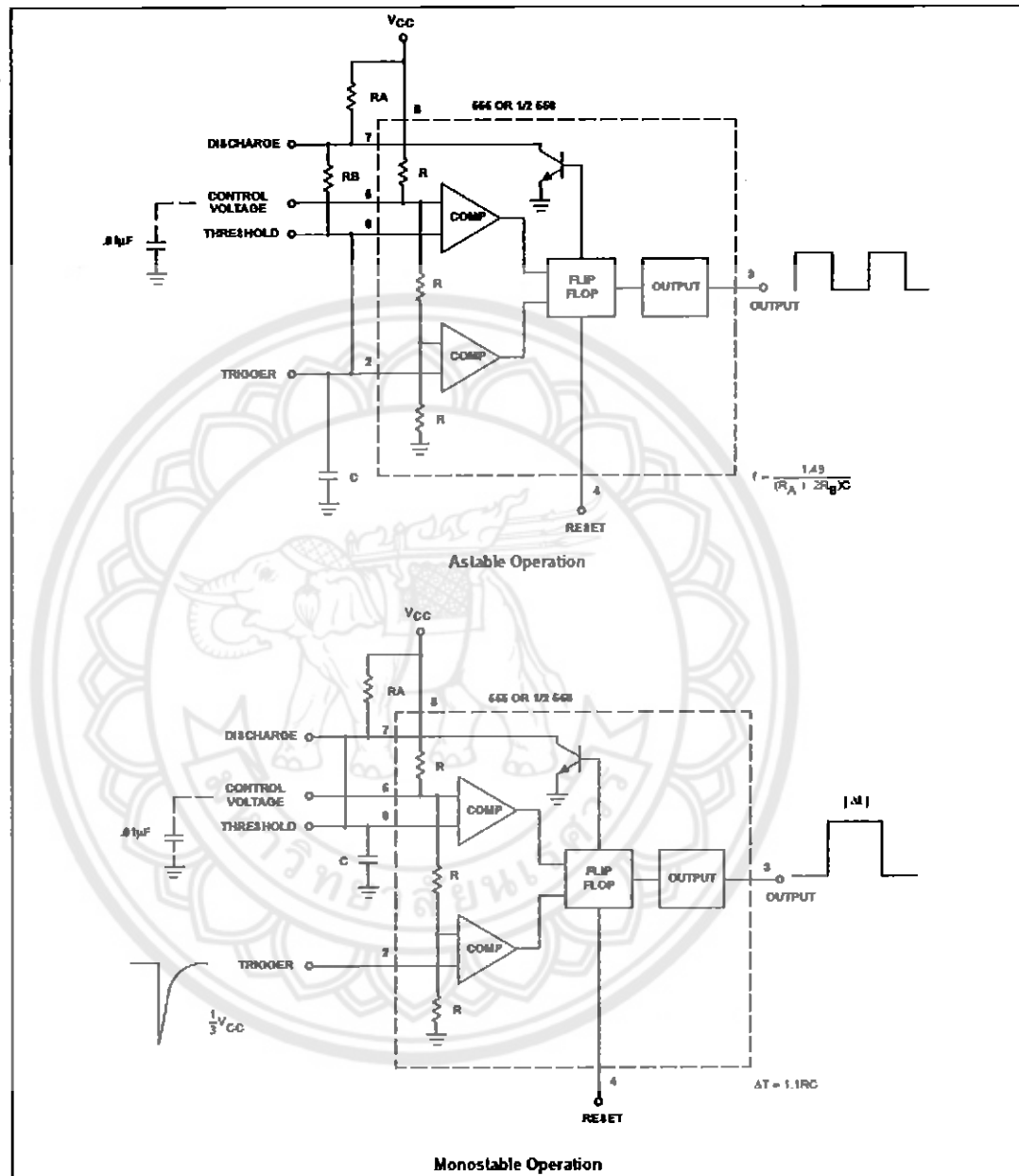
TYPICAL PERFORMANCE CHARACTERISTICS



Timer

NE/SA/SE555/SE555C

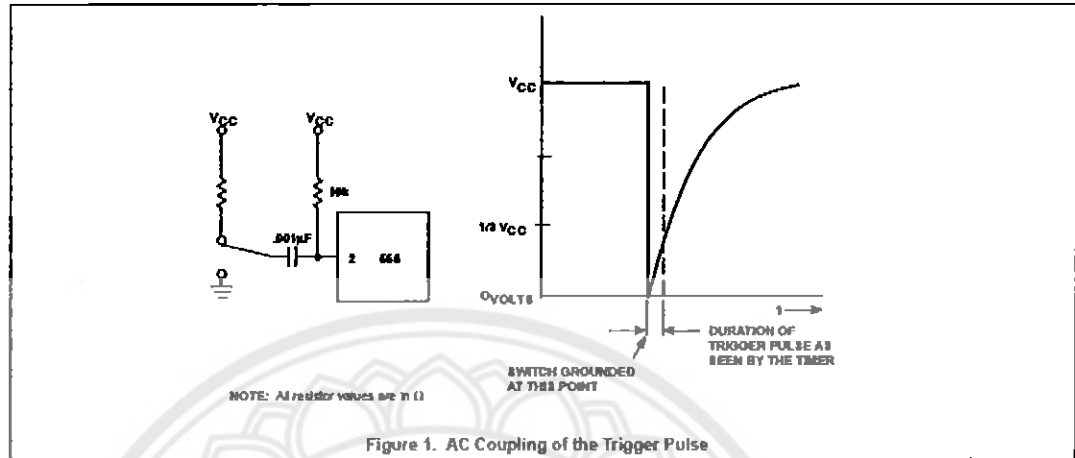
TYPICAL APPLICATIONS



Timer

NE/SA/SE555/SE555C

TYPICAL APPLICATIONS



Trigger Pulse Width Requirements and Time Delays

Due to the nature of the trigger circuitry, the timer will trigger on the negative going edge of the input pulse. For the device to time out properly, it is necessary that the trigger voltage level be returned to some voltage greater than one third of the supply before the time out period. This can be achieved by making either the trigger pulse sufficiently short or by AC coupling into the trigger. By AC coupling the trigger, see Figure 1, a short negative going pulse is achieved when the trigger signal goes to ground. AC coupling is most frequently used in conjunction with a switch or a signal that goes to ground which initiates the timing cycle. Should the trigger be held low, without AC coupling, for a longer duration than the timing cycle the output will remain in a high state for the duration of the low trigger signal, without regard to the threshold comparator state. This is due to the predominance of Q_{15} on the base of Q_{16} , controlling the state of the bi-stable flip-flop. When the trigger signal then returns to a high level, the output will fall immediately. Thus, the output signal will follow the trigger signal in this case.

Another consideration is the "turn-off time". This is the measurement of the amount of time required after the threshold reaches $2/3 V_{CC}$ to turn the output low. To explain further, Q_1 at the threshold input turns on after reaching $2/3 V_{CC}$, which then turns on Q_5 , which turns on Q_6 . Current from Q_6 turns on Q_{16} which turns Q_{17} off. This allows current from Q_{19} to turn on Q_{20} and Q_{24} to give an output low. These steps cause the 2μs max. delay as stated in the data sheet.

Also, a delay comparable to the turn-off time is the trigger release time. When the trigger is low, Q_{10} is on and turns on Q_{11} , which turns on Q_{15} . Q_{15} turns off Q_{16} and allows Q_{17} to turn on. This turns off current to Q_{20} and Q_{24} , which results in output high. When the trigger is released, Q_{10} and Q_{11} shut off, Q_{15} turns off, Q_{16} turns on and the circuit then follows the same path and time delay explained as "turn off time". This trigger release time is very important in designing the trigger pulse width so as not to interfere with the output signal as explained previously.